

ARTUR VIEIRA DE VASCONCELOS FILHO

TEORIA DE GAUGE UNIFICADA PARA AS INTERAÇÕES FRACAS
E ELETROMAGNÉTICAS E DECAIMENTOS DO LÉPTON PESADO τ

Tese de

MÉSTRADO

CENTRO BRASILEIRO DE PESQUISAS FÍSICAS

Rio de Janeiro

-1979-

AGRADECIMENTO

Ao Professor Prem Prakash Srivastava, por sua dedicada orientação e constante apoio nas diversas fases deste trabalho.

A Biblioteca do Centro Brasileiro de Pesquisas Físicas, na pessoa de seus Funcionários, que sempre me atenderam com presteza e eficiência.

A datilógrafa Helena de Souza Ciccarino, pela qualidade de seu trabalho e pelas sugestões apresentadas durante a preparação final desta tese.

A C.A.P.E.S., pelas bolsas obtidas, que tornaram possível a execução deste trabalho.

Ao Centro Brasileiro de Pesquisas Físicas/Conselho Nacional de Desenvolvimento Científico e Tecnológico, pela acolhida durante o período que necessitei permanecer como aluno pós-graduado desta Instituição.

RESUMO

Neste trabalho é discutido o *Modelo de Weinberg-Salam* que unifica as interações fracas e eletromagnéticas sob um mesmo formalismo de Gauge e as propriedades do novo lépton pesado o τ^\pm .

Foram apresentados nos seis primeiros capítulos - Teoria de Yang-Mills, Bósons de Goldstone, Mecanismo de Higgs, as Correntes Fracas e Eletromagnéticas e o grupo $SU(2) \times U(1)$, gerador destas correntes. Estas foram as ferramentas que possibilitaram a descoberta de Weinberg e Salam. Por isto se julgou necessário incluí-las neste trabalho.

Os Capítulos VI, VII e VIII descrevem o Modelo W-S propriamente dito, e suas extensões com quatro quarks (modelo de GIM) e seis quarks.

Os Capítulos finais apresentam um estudo do lépton- τ . Resumir suas propriedades conhecidas e propor um modo de se determinar o *spin* deste lépton foram os objetivos destes Capítulos. Os cálculos dos decaimentos do táon são feitos detalhadamente, pois é através destes decaimentos que se pode chegar ao verdadeiro spin do lépton pesado.

SUMÁRIO

| | <u>Pág.</u> |
|--|-------------|
| AGRADECIMENTOS | iii |
| RESUMO | iv |
| LISTA DE FIGURAS | viii |
| LISTA DE TABELAS | ix |
| | |
| <u>CAPÍTULO I</u> - TEORIA DE YANG-MILLS | 1 |
| 1.1 - Teoria Abeliana | 1 |
| 1.2 - Teoria de Yang-Mills para o Grupo Não-Abeliano SU(2) | 3 |
| | |
| <u>CAPÍTULO II</u> - BÓSONS DE GOLDSTONE | 7 |
| 2.1 - Idéias Gerais Sobre Quebra Espontânea da Sime- tria | 7 |
| 2.2 - Bósons de Goldstone - Modelo- σ de Gell-Mann Lévy | 11 |
| | |
| <u>CAPÍTULO III</u> - MECANISMO DE HIGGS | 16 |
| | |
| <u>CAPÍTULO IV</u> - INTERAÇÕES FRACAS | 20 |
| 4.1 - Interações Eletromagnéticas | 20 |
| 4.2 - Interação Fraca - Teoria V-A | 20 |
| 4.3 - Interação Fraca Mediada pelo Bóson Vetorial In- termediário | 24 |
| | |
| <u>CAPÍTULO V</u> - INTERAÇÕES FRACAS E ELETROMAGNÉTICAS | 27 |
| 5.1 - Construção da Lagrangeana | 27 |
| 5.2 - Formalismo Isospin-Fraco | 28 |
| 5.3 - Grupo Gerador de Uma Teoria Unificada para In- terações Fracas e Eletromagnéticas | 31 |
| | |
| <u>CAPÍTULO VI</u> - MODELO DE WEINBERG-SALAM | 32 |
| 6.1 - Construção do Modelo | 32 |

| | |
|--|----|
| 6.2 - Aplicação do Mecanismo de Higgs ao Modelo de Weinberg-Salam | 37 |
| <u>CAPÍTULO VII</u> - MODELO DE WEIBERG-SALAM PARA QUARKS | 42 |
| 7.1 - Modelo de GIM -- Construção do Modelo | 42 |
| 7.2 - Interação Quark-Bóson de Higgs | 47 |
| <u>CAPÍTULO VIII</u> - MODELO DE WEINBERG-SALAM PARA SEIS QUARKS | 50 |
| 8.1 - Construção do Modelo | 50 |
| 8.2 - Violação CP | 55 |
| <u>CAPÍTULO IX</u> - O LÉPTON PESADO | 62 |
| 9.1 - Introdução | 62 |
| 9.2 - Natureza Leptônica da Partícula- τ | 64 |
| 9.3 - Natureza de um Número Leptônico para o Táon | 65 |
| 9.4 - Corrente Fraca do Lépton-Pesado | 67 |
| <u>CAPÍTULO X</u> - DECAIMENTO LEPTÔNICO DO LÉPTON PESADO | 70 |
| 10.1 - Decaimento Leptônico para τ com Spin 3/2 | 70 |
| 10.2 - Decaimento Leptônico para τ com Spin 1/2 | 72 |
| <u>CAPÍTULO XI</u> - DECAIMENTO HADRÔNICO DO LÉPTON τ | 74 |
| 11.1 - Decaimento Hadrônico do Lépton τ com Spin 1/2 ... | 74 |
| 11.2 - Elemento de Matriz da Corrente Fraca j_μ | 77 |
| 11.3 - Decaimento do Lépton- τ com Spin-1/2 em um Único Bóson Vetorial | 79 |
| 11.4 - Decaimento $\tau^- \rightarrow \nu_\tau \rho^-$ - Caso Spin-3/2 para o Lépton- τ | 80 |
| 11.5 - Decaimento $\tau^- \rightarrow \bar{A}_2 \nu_\tau$ | 81 |
| 11.6 - Decaimento $\tau^- \rightarrow \nu_\tau \pi \bar{A}_2^-$ para τ^- com Spin-1/2 | 83 |
| <u>CAPÍTULO XII</u> - DECAIMENTO BARIÔNICO DO LÉPTON- τ | 89 |
| 12.1 - Possibilidade de um Decaimento Bariônico do Lépton- τ | 89 |
| 12.2 - Lépton- τ com Spin-3/2 | 89 |

| | |
|---|-----|
| 12.3 - Lépton Pesado com Spin-1/2 | 95 |
| <u>CAPÍTULO XIII</u> - CONCLUSÃO | 99 |
| 13.1 - O Spin- τ do Lépton Pesado | 99 |
| 13.2 - Previsões Teóricas dos Decaimentos do Táon | 99 |
| 13.3 - Dados Experimentais do Lépton- τ | 101 |
| 13.4 - Discussão | 101 |
| <u>APÊNDICE A</u> - PROPAGADORES DE FEYNMAN PARA CAMPOS | 103 |
| A.1) - Campo Vetorial Massivo | 103 |
| A.2) - Campo de Maxwell | 103 |
| A.3) - Campo de Spin-3/2 | 104 |
| A.4) - Campo com Spin-2 | 104 |
| <u>BIBLIOGRAFIA</u> - | 105 |

LISTA DE FIGURAS

| <u>Fig.</u> | <u>Pág.</u> |
|---|-------------|
| 2.1.1 - Potencial em função da coordenada generalizada $q(\mu^2 > 0)$ | 9 |
| 2.1.2 - Gráfico do potencial em função da coordenada $q(\mu^2 < 0)$ | 10 |
| 2.2.1 - Círculo dos pontos de vácuo da Lagrangeana (2.2.12) | 13 |
| 9.2.1 - Taxa de produção do par $e\mu$ em função da energia do CM do e^+e^- | 64 |
| 10.1.1 - Decaimento leptônico do τ | 70 |
| 10.2.1 - Gráfico $(d\Gamma/d\vec{k}_1) \times \vec{k}_1 $ no CM do τ com spin-1/2 (----- curva do e; ———— curva do μ) | 73 |
| 10.2.2 - Gráfico $(d\Gamma/d\vec{k}_1) \times \vec{k}_1 $ no CM do τ com spin-3/2 (----- curva do e; ———— curva do μ) | 73 |
| 11.1.1 - Decaimento hadrônico do lépton τ | 74 |
| 12.1.1 - Decaimento bariônico do lépton τ | 89 |
| 12.2.1 - Espectro do momento do antiprôton no CM do τ com spin-3/2.. | 94 |
| 12.3.1 - Espectro do momento do antiprôton no centro de massa do τ^- com spin-1/2 | 98 |
| 13.4.1 - R_{eX}^{2p} em função da $E_{C.M.}$ do par e^+e^- | 102a |

LISTA DE TABELAS

| <u>Tab.</u> | | <u>Pág.</u> |
|-------------|--|-------------|
| 7.1 | - Números quânticos dos quarks <u>u</u> , <u>c</u> , <u>d</u> e <u>s</u> | 43 |
| 8.1 | - Números quânticos dos quarks <u>u</u> , <u>c</u> , <u>t</u> , <u>d</u> , <u>s</u> e <u>b</u> | 50 |
| 8.2.1 | - Spinores de Dirac – Transformações sob conjugação de carga | 59 |
| 8.2.2 | - Spinores de Dirac – Transformações sob inversão espacial | 60 |
| 8.2.3 | - Spinores de Dirac – Transformações sob uma inversão CP | 61 |
| 9.4.1 | - Números leptônicos dos diversos léptons | 68 |
| 13.2.1 | - Previsões para vários decaimentos do lépton- τ com spin 3/2 | 100 |
| 13.2.2 | - Previsões para vários decaimentos do lépton- τ com spin 1/2 | 100 |
| 13.3.1 | - Dados experimentais para decaimento τ | 101 |

CAPÍTULO I

TEORIA DE YANG-MILLS

1.1 - Teoria Abeliãna

A Lagrangeana de um Campo Livre Escalar Complexo ⁽¹⁾ é dada pela expressão:

$$\mathcal{L}_0 = \partial_\mu \phi^\dagger \partial^\mu \phi - m^2 \phi^\dagger \phi \quad (1.1.1)$$

Esta Lagrangeana é invariante sob uma transformação de gauge do tipo $\phi(x) \rightarrow \phi'(x) = e^{-iq\theta} \phi(x)$, onde θ é uma constante. A verificação é imediata.

Este tipo de transformação se chama *transformação de gauge global* ⁽²⁾.

Uma transformação do tipo acima constitui o grupo abeliano $U(1)$.

Quando θ não é mais uma constante, mas uma função real do ponto x , $\theta = \theta(x)$, a transformação $\phi(x) \rightarrow \phi'(x) = e^{-iq\theta} \phi(x)$ quebra a invariância da Lagrangeana ⁽¹⁾.

Isto porque:

$$\mathcal{L} \rightarrow \mathcal{L}' = \partial_\mu \phi^\dagger \partial^\mu \phi - m^2 \phi^\dagger \phi + iq(\partial_\mu \theta)(\phi^\dagger \partial^\mu \phi) + q^2(\partial^\mu \theta \partial_\mu \theta) \phi^\dagger \phi \quad (1.1.2)$$

Este último tipo de transformação de gauge é chamado *transformação de gauge local*. ⁽²⁾

A perda da invariância numa transformação de gauge local se deve ao fato de que $\partial_\mu \phi$ se transforma como:

$$\partial_\mu \phi(x) \rightarrow \partial_\mu \phi'(x) = e^{-iq\theta(x)} \left\{ \partial_\mu \phi(x) - iq(\partial_\mu \theta) \phi(x) \right\} \quad (1.1.3)$$

Para contornar esta dificuldade é necessário introduzir novos campos bosônicos compensadores na Lagrangeana, de tal modo que toda derivada ∂_μ é substituída pela derivada covariante D_μ ^(1,2).

Define-se a derivada covariante pela expressão:

$$D_\mu = (\partial_\mu - iqA_\mu) \quad (1.1.4)$$

onde $A_\mu = A_\mu(x)$ é o campo bosônico compensador.

Além do mais, requer-se que as transformações abaixo sejam simultâneas:

$$\phi(x) \rightarrow \phi'(x) = e^{-iq\theta(x)} \phi(x) \quad (1.1.5a)$$

$$D_\mu \phi(x) \rightarrow D'_\mu \phi'(x) = e^{-iq\theta(x)} D_\mu \phi(x) \quad (1.1.5b)$$

$$A_\mu(x) \rightarrow A'_\mu(x) = A_\mu(x) - \frac{1}{2} \partial_\mu \theta(x) \quad (1.1.5c)$$

Note-se que as três relações acima não são independentes. A última relação é uma consequência direta das duas

primeiras.

A Lagrangeana do campo escalar complexo, tal que seja invariante sob uma transformação de gauge local, deve obedecer às transformações acima e ser reescrita como:

$$\mathcal{L} = (D_\mu \phi)^\dagger D^\mu \phi - m^2 \phi^\dagger \phi - \frac{1}{4} F_{\mu\nu} F^{\mu\nu} \quad (1.1.6)$$

onde

$$F_{\mu\nu} = \partial_\mu A_\nu - \partial_\nu A_\mu \quad (1.1.7)$$

O termo $-\frac{1}{4} F_{\mu\nu} F^{\mu\nu}$ compõe a Lagrangeana livre do bóson vetorial compensador A_μ .

O outro termo que falta à Lagrangeana livre do bóson vetorial compensador é o termo de massa, $\frac{\mu^2}{2} A_\mu A^\mu$. A invariância desta Lagrangeana sob uma transformação local de gauge implica que $\mu = 0$. Disto se conclue que $A_\mu(x)$ é o próprio campo eletromagnético.

A Lagrangeana da Eq. (1.1.6) é a Lagrangeana da Eletrodinâmica para um Campo Escalar Complexo.

1.2 - Teoria de Yang-Mills Para o Grupo Não-Abeliano SU(2)

A Lagrangeana de um campo isospinorial livre é dada pela expressão:

$$\mathcal{L}(x) = \bar{\psi}(x) (i\gamma^\mu \partial_\mu - m) \psi \quad (1.2.8)$$

onde $\psi(x)$ é um isodoubleto de SU(2) da forma

$$\psi(x) = \begin{pmatrix} \psi_1(x) \\ \psi_2(x) \end{pmatrix}$$

em que $\psi_1(x)$ e $\psi_2(x)$ são spinores de Dirac. Como um exemplo, ψ_1 e ψ_2 podem ser os spinores de Dirac para o próton e o nêutron, respectivamente.

\mathcal{L}_0 é invariante no espaço interno de isospin. Uma transformação de gauge global

$$\psi(x) \rightarrow \psi'(x) = e^{-i \frac{\vec{\theta} \cdot \vec{\tau}}{2}} \psi(x)$$

deixa a Lagrangeana invariante, onde $\vec{\theta}$ é um vetor constante no espaço de carga.

No caso de uma transformação de gauge local, $\vec{\theta} = \vec{\theta}(x)$, há quebra da invariância da Lagrangeana.

Para contornar este problema, introduzem-se campos vectoriais compensadores e se substitue a derivada ∂_μ pela derivada covariante sob uma transformação de gauge D_μ .

A derivada covariante, neste caso, é definida pela expressão:

$$D_\mu = \partial_\mu - i \frac{g}{2} \vec{\tau} \cdot \vec{A}_\mu \quad (1.2.9)$$

e se transforma como:

$$D_\mu \psi(x) \rightarrow D'_\mu \psi'(x) = U(\vec{\theta}) D_\mu \psi(x) \quad (1.2.10)$$

onde

$$U(\theta) = \exp \left[-i \frac{\vec{\tau} \cdot \vec{\theta}(x)}{2} \right] . \quad (1.2.10a)$$

Obtêm-se assim:

$$\left[\partial_\mu - i \frac{g}{2} \vec{\tau} \cdot \vec{A}_\mu \right] \psi(x) = U(\theta) \left[\partial_\mu - i \frac{g}{2} \vec{\tau} \cdot \vec{A}_\mu \right] \psi(x) \quad (1.2.11)$$

Para encontrar-se uma relação entre $A_\mu(x)$ e $A'_\mu(x)$, notamos que sob uma transformação SU(2) temos:

$$\psi(x) \rightarrow \psi'(x) = U(\vec{\theta}) \psi(x) \quad (1.2.12a)$$

$$\bar{\psi}(x) \rightarrow \bar{\psi}'(x) = \bar{\psi}(x) U(\theta) \quad (1.2.12b)$$

Obtêm-se assim:

$$\left[\partial_\mu - i \frac{g}{2} \vec{\tau} \cdot \vec{A}'_\mu(x) \right] U(\vec{\theta}) \psi(x) = U(\theta) \left[\partial_\mu - i \frac{g}{2} \vec{\tau} \cdot \vec{A}_\mu \right] \psi(x) \quad (1.2.13)$$

ou

$$i \frac{g}{2} \vec{\tau} \cdot \vec{A}'_\mu U(\theta) \psi(x) = \left[\partial_\mu U(\vec{\theta}) \right] \psi(x) + i \frac{g}{2} U(\vec{\theta}) \vec{A}_\mu \cdot \vec{\tau} \psi(x) \quad (1.2.14)$$

Como esta relação deve ser válida para todo $\psi(x)$:

$$\vec{\tau} \cdot \vec{A}'_\mu = U(\vec{\theta}) \left[-\frac{\vec{\tau} \cdot \vec{A}_\mu}{2} - \frac{2i}{g} U^\dagger(\vec{\theta}) \partial_\mu U(\vec{\theta}) \right] U^\dagger(\theta) \quad (1.2.15)$$

Disto e da Eq. (1.2.10a) encontramos a relação desejada entre $A_\mu(x)$ e $A'_\mu(x)$:

$$A'_\mu(x) = A_\mu(x) - \partial_\mu \vec{\theta} + g \vec{\theta} \times \vec{A}_\mu \quad (1.2.16)$$

A Lagrangeana completa do campo isospinorial invariante sob uma transformação de gauge local é dá forma:

$$\mathcal{L} = \bar{\psi}(i\gamma^\mu \partial_\mu - m)\psi - \frac{1}{4} \vec{F}_{\mu\nu} \cdot \vec{F}^{\mu\nu} \quad (1.2.17)$$

onde

$$\vec{F}_{\mu\nu} = \partial_\mu \vec{A}_\nu - \partial_\nu \vec{A}_\mu + g \vec{A}_\mu \times \vec{A}_\nu \quad (1.2.18)$$

CAPÍTULO II

BOSONS DE GOLDSTONE

2.1- Idéias Gerais Sobre Quebra Espontânea da Simetria

Seja a densidade Lagrangeana de um campo escalar clássico descrita pela expressão:

$$\mathcal{L} = \frac{1}{2} \partial_\mu \phi \partial^\mu \phi - \frac{1}{2} \mu^2 \phi^2 - \frac{1}{4} \lambda \phi^4 \quad (2.1.1)$$

No caso unidimensional a Lagrangeana é dada pela expressão ⁽²⁾:

$$\begin{aligned} L &= \int_{-\infty}^{+\infty} \mathcal{L}(x, t) dx = \\ &= \int_{-\infty}^{+\infty} dx \left\{ \frac{1}{2} \left(\frac{d\phi}{dt} \right)^2 - \frac{1}{2} \left(\frac{d\phi}{dx} \right)^2 - \frac{1}{2} \mu^2 \phi^2 - \frac{1}{4} \lambda \phi^4 \right\} \end{aligned} \quad (2.1.2)$$

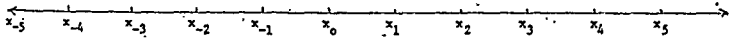
Esta Lagrangeana é invariante sob a transformação $\phi(x) \rightarrow -\phi(x)$.

Esta integral na forma discreta assume a forma:

$$L = \sum_{i=-\infty}^{+\infty} \varepsilon \left\{ \frac{1}{2} \left(\frac{dq_i}{dt} \right)^2 - \frac{1}{2t^2} (q_i - q_{i-1})^2 - \frac{1}{2} \mu^2 q_i^2 - \frac{1}{4} \lambda q_i^4 \right\} \quad (2.1.3)$$

O espaço R_1 dos x foi discretizado em intervalos

iguais de comprimento ϵ . O gráfico abaixo explica de modo claro tal procedimento:



onde $x_0 = 0$.

Foram definidos:

$$x_i - x_{i-1} = \epsilon, \quad \forall i, \quad (2.1.4)$$

sendo i um número inteiro.

$$q_i(t) = \phi(x_i, t) \quad (2.1.5)$$

$$p_i(t) = \frac{dq_i(t)}{dt} \quad (2.1.6)$$

onde $p_i(t)$ é o momento-conjugado a $q_i(t)$.

Define-se também o potencial:

$$V(q_i) = \frac{\mu^2}{2} q_i^2 + \lambda q_i^2 \quad (2.1.7)$$

A Hamiltoniana é encontrada como se segue:

$$H = \sum_i p_i \dot{q}_i - L =$$

$$= \sum_{i=-\infty}^{\infty} \left\{ \frac{1}{2} p_i^2 + \frac{1}{2} (q_i - q_{i-1})^2 + V(q_i^2) \right\} \quad (2.1.8)$$

Handwritten notes: A curved arrow points from the term (q_i - q_{i-1})^2 to the index i-1. Another arrow points from the same term to the index i. There is a large 'X' mark over the term.

Para um cálculo de perturbação, é necessário encon -

trar o mínimo da expressão abaixo:

$$\sum_i \left\{ \frac{1}{2\epsilon^2} (q_i^2 - q_{i-1}^2) + V(q_i^2) \right\}$$

Para este ponto de mínimo é obrigatório que:

$$q_i = q_j = q \quad , \quad \forall i, j \quad .$$

Resta então encontrar o mínimo do potencial:

$$V(q_i^2) = V(q^2) = \frac{\mu^2}{2} q^2 + \frac{\lambda}{4} q^4 \quad (2.1.9)$$

Dependendo do valor de μ^2 , este ponto de mínimo pode assumir um dos dois valores distintos:

- i) se $\mu^2 > 0$, $V(q^2)$ possui mínimo único para $q = 0$, de modo $\langle \phi \rangle_0 = 0$, onde $\langle \phi \rangle_0$ é o valor esperado do campo quantizado no estado de vácuo

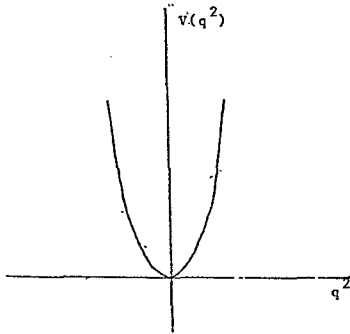


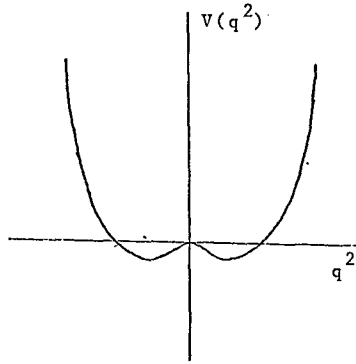
Figura 2.1.1 - Potencial em função da coordenada generalizada q ($\mu^2 > 0$).

- ii) se $\mu^2 < 0$, $q = 0$ não será um ponto de mínimo. Mas haverá dois pontos distintos onde a condição de mínimo é satisfeita: $q = (-\mu^2/\lambda)^{1/2}$, de modo que o valor esperado para o campo quantizado no estado de vácuo é:

$$\langle \phi \rangle_0 = \pm v = \pm (-\mu^2/\lambda)^{1/2} \quad (2.1.10)$$

Os dois valores para $\langle \phi \rangle_0$ indicam que o estado de vácuo é degenerado - há dois vácuos possíveis. O resultado $\langle \phi \rangle_0 \neq 0$ indica que o vácuo não é auto-estado da operação $\phi \rightarrow -\phi$, embora a Lagrangeana seja invariante sob esta transformação. Diz-se, então, que neste caso há *quebra espontânea da simetria* (2, 5, 6, 7).

Figura 2.1.2 - Gráfico do potencial em função da coordenada q ($\mu^2 < 0$).



Se escolhermos o vácuo para o qual $\langle \phi \rangle_0 = v$ e definirmos o novo campo $\phi' = \phi - v$, então $\langle \phi' \rangle_0 = 0$, mas:

$$\mathcal{L}(x) = \frac{1}{2} \partial^\mu \phi' \partial_\mu \phi' - \mu^2 \phi'^2 - \lambda v \phi'^3 - \frac{1}{4} \lambda \phi'^4 \quad (2.1.11)$$

O campo ϕ' possui agora a massa positiva $-2\mu^2 > 0$, mas a Lagrangeana não apresenta simetria de reflexão (2, 7).

2.2 - Bósons de Goldstone - Modelo- σ de Gell-Mann Lévy (8,9)

Considere-se uma Lagrangeana do campo escalar complexo livre ϕ , com um termo de auto-interação $\lambda(\phi^*\phi)^2$,

$$\mathcal{L} = \partial_\mu \phi^* \partial^\mu \phi - \mu^2 \phi^* \phi - \lambda (\phi^* \phi)^2 \quad (2.2.12)$$

onde:

$$\phi = \frac{\phi_1 + i\phi_2}{\sqrt{2}} \quad (2.2.13)$$

sendo $\lambda > 0$ e ϕ_1, ϕ_2 reais.

Em função dos novos campos:

$$\mathcal{L} = \frac{1}{2} (\partial_\mu \phi_1 \partial^\mu \phi_1 + \partial_\mu \phi_2 \partial^\mu \phi_2) - \frac{\mu^2}{2} (\phi_1 \phi_1 + \phi_2 \phi_2) - \frac{\lambda}{4} (\phi_1 \phi_1 + \phi_2 \phi_2)^2 \quad (2.2.14)$$

Definindo-se:

$$V(\phi_1, \phi_2) = \frac{\mu^2}{2} (\phi_1 \phi_1 + \phi_2 \phi_2) + \frac{\lambda}{4} (\phi_1 \phi_1 + \phi_2 \phi_2)^2 \quad (2.2.15)$$

existem duas condições para o mínimo:

$$\frac{\partial V}{\partial \phi_1} = \phi_1 (\mu^2 + \lambda(\phi_1 \phi_1 + \phi_2 \phi_2)) = 0 \quad (2.2.16a)$$

$$\frac{\partial V}{\partial \phi_2} = \phi_2 (\mu^2 + \lambda(\phi_1 \phi_1 + \phi_2 \phi_2)) = 0 \quad (2.2.16b)$$

Há dois tipos de mínimo para o potencial $V(q^2)$, depen

dentes apenas do valor de μ^2 :

i) se $\mu^2 > 0$, o mínimo só ocorre em $\phi_1(x) = \phi_2(x) = 0$; este caso não será considerado.

ii) se $\mu^2 < 0$, o mínimo ocorrerá para qualquer valor de $\phi_1(x)$ e $\phi_2(x)$, desde que:

$$\sqrt{\phi_1^2(x) + \phi_2^2(x)} = \sqrt{-\mu^2/\lambda} \quad (2.2.17)$$

Antes de prosseguir com a discussão do ítem (ii) acima, devemos lembrar que a Lagrangeana (2.2.12) é invariante sob uma transformação de gauge global U(1) aplicada ao campo (x) :

$$\phi(x) \rightarrow \phi'(x) = e^{-i\lambda} \phi(x) \quad (2.2.17a)$$

$$\phi^*(x) \rightarrow \phi^{*'}(x) = e^{+i\lambda} \phi^*(x) \quad (2.2.17b)$$

Isto é equivalente a dizer que a Lagrangeana (2.2.12) é invariante sob a transformação de gauge O(2) dos campos $\phi_1(x)$ e $\phi_2(x)$, descrita por:

$$\begin{pmatrix} \phi_1(x) \\ \phi_2(x) \end{pmatrix} \rightarrow \begin{pmatrix} \phi_1'(x) \\ \phi_2'(x) \end{pmatrix} = \begin{pmatrix} \cos\theta & \sin\theta \\ -\sin\theta & \cos\theta \end{pmatrix} \begin{pmatrix} \phi_1(x) \\ \phi_2(x) \end{pmatrix} \quad (2.2.18)$$

Da equação (2.2.13), encontramos:

$$|\phi(x)| = \frac{1}{\sqrt{2}} \sqrt{\phi_1^2(x) + \phi_2^2(x)} \quad (2.2.19)$$

de onde se acha:

$$\phi(x) = e^{i\delta} |\phi(x)|, \quad \delta \text{ real} \quad (2.2.20)$$

Da equação (2.2.20) e de (2.2.17) encontramos:

$$\langle \phi | 0 \rangle = \langle 0 | \phi | 0 \rangle = e^{i\delta} \sqrt{-\frac{\mu^2}{2\lambda}} \quad (2.2.21)$$

Em termos do campo ϕ , o vácuo é infinitamente degenerado, existe um vácuo para cada valor de δ .

Em termos dos campos ϕ_1 e ϕ_2 , o vácuo é infinitamente degenerado de acordo com a Eq. (2.2.17) e se acha visualizado na Fig. 2.2.1:

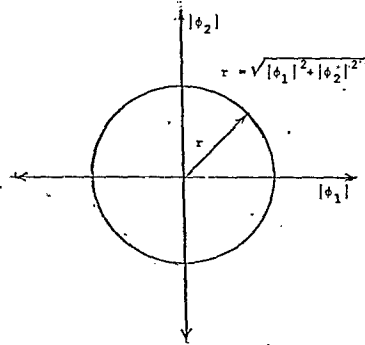


Figura 2.2.1 - Círculo dos pontos de vácuo da Lagrangeana (2.2.12).

Sob uma transformação de gauge, $\phi(x) \rightarrow \phi'(x) = e^{i\lambda} \phi$ a Lagrangeana como as equações de movimento são invariantes, entretanto,

$$\langle 0 | \phi | 0 \rangle \rightarrow e^{i\lambda} \langle 0 | \phi | 0 \rangle \quad (2.2.22)$$

Isto sempre acontece, não?

Isto significa que o vácuo não é auto-estado da transformação

de gauge - *hã quebra espontânea de simetria.*

Os diferentes vácuos podem distinguir-se por presença de certo número de quanta de energia e momento nulos. Estes quanta são possíveis se estiverem presentes na teoria partículas com números quânticos de vácuo. Deveriam assim surgir na presente teoria de gauge, bósons de massa nula - *Bósons de Goldstone.* Cada ponto sobre o círculo da Fig. 2.2.1 indica uma escolha específica do vácuo, que corresponde a uma determinada fase real δ .

Escolhendo-se o vácuo, tal que:

$$\langle \phi_1 \rangle_0 = \sqrt{-\frac{\mu^2}{\lambda}} \quad (2.2.23a)$$

$$\langle \phi_2 \rangle_0 = 0 \quad (2.2.23b)$$

e definindo-se:

$$\langle \phi_1' \rangle = \phi_1 - \langle \phi_1 \rangle_0 \quad (2.2.24)$$

de modo que $\langle \phi_1' \rangle = 0$, encontramos

$$\mathcal{L} = \frac{1}{2} \partial_\mu \phi_1' \partial^\mu \phi_1' + \frac{1}{2} \partial_\mu \phi_2 \partial^\mu \phi_2 + \mu^2 \phi_1'^2 - \lambda \langle \phi_1 \rangle_0 \phi_1' (\phi_1'^2 + \phi_2^2) - \frac{\lambda}{4} (\phi_1'^2 + \phi_2^2)^2 \quad (2.2.25)$$

Verifica-se assim que campos ϕ_1' e ϕ_2 possuem massa positiva ($-2\mu^2 > 0$) e nula, respectivamente.

A Lagrangeana (2.2.25) em termos de ϕ_1' e ϕ_2 não é invariante sob a simetria $O(2) \approx U(1)$. Isto é, *hã quebra espontânea de simetria.*

O fenômeno de Goldstone no caso mais geral será discutido na referência (2).

CAPÍTULO III

MECANISMO DE HIGGS

A Lagrangeana de um campo complexo é dada pela expressão:

$$\mathcal{L}(x) = \partial_\mu \phi^* \partial^\mu \phi - \mu^2 \phi^* \phi - \lambda (\phi^* \phi)^2 \quad (3.1)$$

Para que esta Lagrangeana seja invariante sob uma transformação local de gauge (ver Cap. I), é necessário reescrevê-la na forma:

$$\mathcal{L} = (D_\mu \phi)^* D^\mu \phi - \mu^2 \phi^* \phi - \lambda (\phi^* \phi)^2 - \frac{1}{4} F_{\mu\nu} F^{\mu\nu}, \quad (3.2)$$

onde

$$D_\mu = (\partial_\mu - i e A_\mu) \quad (3.3a)$$

$$F_{\mu\nu} = \partial_\mu A_\nu - \partial_\nu A_\mu \quad (3.3b)$$

Se $\mu^2 < 0$, há quebra espontânea de simetria da Lagrangeana, podendo-se então expandir o campo em torno de um valor esperado de vácuo diferente de zero.

Escolhendo-se o vácuo correspondente, no qual

$$\langle \phi_2(x) \rangle_0 = 0 \quad (3.4a)$$

$$\langle \phi_1(x) \rangle_0 \neq 0 \quad (3.4b)$$

É conveniente introduzirem-se os novos campos $\eta(x)$ e $\xi(x)$ de modo que

$$\phi_1(x) = \frac{v + \eta(x)}{\sqrt{2}} \quad (3.5a)$$

$$\phi_2(x) = \frac{\xi(x)}{\sqrt{2}} \quad (3.5b)$$

de modo que:

$$\langle \eta(x) \rangle_0 = \langle \xi(x) \rangle_0 = 0 \quad (3.6)$$

Da expansão de $\phi(x)$ em torno do valor esperado de vácuo se encontra:

$$\phi(x) = \frac{1}{\sqrt{2}} (v + \eta(x) + i\xi(x)) \approx \left[\exp(i\xi(x)/v) \right] \frac{v + \eta(x)}{\sqrt{2}} \quad (3.7)$$

Caso se substitua o campo $\phi(x)$ pelo seu equivalente parametrizado $\phi(x) = \left[\exp(i\xi(x)/v) \right] (v + \eta(x)) / \sqrt{2}$ na equação (3.1), encontrar-se-á no final um bóson $\xi(x)$ desprovido de massa e um bóson $\eta(x)$ massivo. Isto é um exemplo da teoria de Goldstone.

Porém, se este bóson sob a forma parametrizada for aplicado à eq. (3.2), algo de estranho aparece: surge um termo $-\sqrt{2} ev A_\mu \partial^\mu \xi$ onde $A_\mu(x)$ e $\xi_\mu(x)$ aparecem misturados. Isto pode ser visualizado na eq. (3.8):

$$\begin{aligned} \mathcal{L}(x) = & \frac{1}{2} \partial_\mu \eta(x) \partial^\mu \eta(x) + \frac{1}{2} \partial_\mu \xi(x) \partial^\mu \xi(x) + \frac{1}{2} e^2 v^2 A_\mu(x) A^\mu(x) - \\ & - \sqrt{2} ev A_\mu(x) \partial^\mu \xi(x) + \mu^2 \eta^2(x) - \frac{1}{4} F_{\mu\nu} F^{\mu\nu} + \text{termos de ordem superior} . \end{aligned} \quad (3.8)$$

No entanto, nada impede que se aplique uma transformação de gauge do tipo:

$$\phi(x) \rightarrow \phi'(x) = \exp(-i\xi(x)/v) \phi(x) \approx \frac{v+\xi(x)}{\sqrt{2}} \quad (3.9)$$

$$A_\mu(x) \rightarrow A'_\mu(x) = A_\mu(x) - \frac{1}{ev} \partial_\mu \xi(x) \quad (3.10)$$

Sob a transformação acima a Lagrangeana da equação (3.2) permanece invariante, assumindo; em termos dos novos campos o valor:

$$\begin{aligned} \mathcal{L}(x) &= \frac{1}{2} \left[(\partial_\mu + ieA'_\mu)(v+\eta(x)) \right] \left[(\partial^\mu - ieA'^\mu)(v+\eta(x)) \right] - \frac{1}{2} \mu^2 (v+\eta(x))^2 \\ &\quad - \frac{1}{4} \lambda (v+\eta(x))^4 - \frac{1}{4} F'_{\mu\nu} F'^{\mu\nu} = \\ &= \frac{1}{2} \partial_\mu \eta \partial^\mu \eta + \mu^2 \eta^2 + \frac{1}{2} e^2 v^2 A'_\mu A'^\mu - \frac{1}{4} F'_{\mu\nu} F'^{\mu\nu} + \\ &\quad + \frac{1}{2} e^2 v \eta A'_\mu A'^\mu + \text{e outros termos} \end{aligned} \quad (3.11)$$

onde

$$F'_{\mu\nu} = \partial_\mu A'_\nu - \partial_\nu A'_\mu$$

Em 1ª ordem encontramos:

- i) um bóson escalar $\eta(x)$ cuja massa vale $\sqrt{-2\mu^2}$;
- ii) um bóson vetorial A'_μ de massa ev ;
- iii) nenhuma partícula correspondente a $\xi(x)$.

Através do mecanismo de Higgs consegue-se que uma teoria composta de um bóson vetorial $A_\mu(x)$ sem massa (2 graus de liberdade) e dois bósons escalares $\xi(x)$ e $\eta(x)$ (2 graus de liberdade), se torne, por uma transformação local de gauge, numa teoria equivalente onde existe um bóson vetorial massivo A'_μ (3 graus de liberdade) e um bóson escalar massivo $\eta(x)$ (1 grau de liberdade) (2,7,10,11).

Os campos de Higgs ϕ , que têm uma "massa" imaginária ($\mu^2 < 0$), permitem que através de quebra espontânea da simetria seja gerada massa para os bósons vetoriais que antes não possuíam massa. Ou seja, da teoria que era renormalizável antes e cujos bósons vetoriais adquirem massa espera-se que continue renormalizável, após a geração suave das massas do bóson vetorial.

CAPÍTULO IV

INTERAÇÕES FRACAS

4.1 - Interações Eletromagnéticas

As Interações Eletromagnéticas são razoavelmente descritas pela teoria da Eletrodinâmica Quântica. Descreve-se nesta teoria as interações entre partículas carregadas em termo da troca de um ou mais fótons; a forma da interação tem o aspecto abaixo: ⁽¹⁾

$$\mathcal{L}_I = e j_\mu^{e.m} A^\mu \quad (4.1.1)$$

onde $j_\mu^{e.m}$ representa a corrente eletromagnética devido a partículas carregadas. Para o caso de um elétron por exemplo, $j_\mu^{e.m} = \bar{\psi} \gamma_\mu \psi$. O pequeno valor de acoplamento permite formular uma teoria de perturbação. Para um melhor entendimento, ver referência ⁽¹⁾, Capítulo III.

4.2 - Interação Fraca - Teoria V-A

Desde o trabalho pioneiro de Fermi ⁽¹²⁾ sobre decaimento fraco (1934), foram feitas tentativas para construir uma teoria

ria semelhante para interações fracas do tipo corrente-campo ou corrente-corrente. A formulação mais satisfatória foi atingida especialmente pelos trabalhos pioneiros de Marshak e Sudarshan⁽¹³⁾, Gell-Mann e Feynman⁽¹⁴⁾ e N. Cabibbo⁽¹⁵⁾, logo após a sugestão da violação da paridade por Lee e Yang⁽¹⁶⁾ nas interações fracas e confirmadas pela experiência de Wu (Phys.Rev. - 105, 1413 ('57)).

A Lagrangeana para interações fracas é descrita pela expressão

$$\mathcal{L}_{\text{weak}} = \frac{G}{2\sqrt{2}} j_{\mu}(x) j^{\mu\dagger}(x) + \text{h.c.} \quad (4.2.8)$$

j_{μ} é o quadrivetor corrente carregada para interações fracas

$$G_F = 1.02 \times 10^{-5} \times m_p^{-2},$$

onde G_F é a constante universal das interações fracas e m_p é a massa do próton.

A corrente j_{μ} é composta de duas partes:

$$j_{\mu}(x) = p_{\mu}(x) + h_{\mu}(x) \quad (4.2.9)$$

$h_{\mu}(x)$ é a parte hadrônica e $p_{\mu}(x)$ é a parte leptônica da corrente fraca.

A Lagrangeana fraca pode ser desenvolvida:

$$\begin{aligned} \mathcal{L}_{\text{weak}}(x) = \frac{G}{2\sqrt{2}} \left[p^{\mu}(x) p_{\mu}^{\dagger}(x) + h^{\mu}(x) h_{\mu}^{\dagger}(x) + \right. \\ \left. + p^{\mu}(x) h_{\mu}^{\dagger}(x) + h^{\mu}(x) p_{\mu}^{\dagger}(x) \right] + \text{h.c.} \quad (4.2.10) \end{aligned}$$

O primeiro e segundo termos entre colchetes descrevem

respectivamente, interações fracas puramente leptônicas e puramente hadrônicas. Os termos restantes descrevem interações onde aparecem hadrons e leptons.

Numa teoria onde não existe lepton pesado, a corrente leptônica tem a forma:

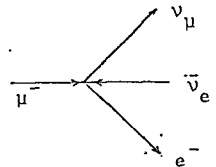
$$p_\mu(x) = \bar{\psi}_{\nu_e}(x) \gamma^\mu (1-\gamma_5) \psi_e(x) + (e + \mu) \quad \dots \quad (4.2.11)$$

A corrente $\bar{\psi}_{\nu_e} \gamma_\mu (1-\gamma_5) \psi_e$ descreve a aniquilação de um elétron e a criação de um neutrino do elétron. Esta corrente também pode descrever a criação de um pósitron e a aniquilação do anti-neutrino correspondente.

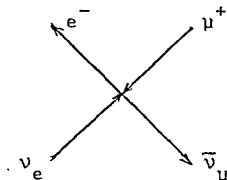
A corrente $\bar{\psi}_{\nu_e} \gamma_\mu (1-\gamma_5) \psi_e$ pode descrever a criação do elétron e a aniquilação do neutrino. Ou, ainda, pode descrever a aniquilação de um pósitron e a criação do anti-neutrino. Por exemplo:

$$\mathcal{L}_{\text{weak}} = \frac{G}{\sqrt{2}} \bar{\psi}_e \gamma^\mu (1-\gamma_5) \psi_{\nu_e} \cdot \bar{\psi}_{\nu_\mu} \gamma_\mu (1-\gamma_5) \psi_\mu \quad (4.2.12)$$

pode descrever o decaimento $\mu^- \rightarrow e^- + \bar{\nu}_e + \nu_\mu$,



ou a reação $\nu_e + \bar{\nu}_\mu \rightarrow e^- + \mu^+$



A corrente hadrônica não possui uma forma tão simples. Os hadrons possuem estrutura interna além de interagirem fortemente.

Algumas hipóteses sobre a corrente hadrônica fraca podem ser levantadas.

1ª - A corrente hadrônica é do tipo V-A - ou seja toda corrente hadrônica é escrita na forma ⁽¹⁾

$$h_{\mu}(x) = V_{\mu}(x) - A_{\mu}(x) \quad (4.2.13)$$

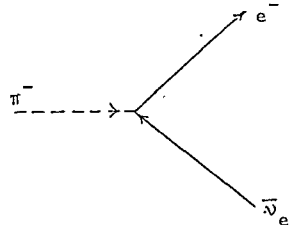
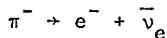
onde $V_{\mu}(x)$ e $A_{\mu}(x)$ são respectivamente quadrivetores polar e axial.

2ª - A corrente hadrônica de Cabibbo ⁽¹⁵⁾ é escrita como a soma de duas correntes, uma para processo onde há mudança de estranheza, outra onde há conservação:

$$h_{\mu}(x) = h_{\mu}^{\Delta S=0}(x) \cos \theta_c + h_{\mu}^{|\Delta S|=1} \sin \theta_c \quad (4.2.14)$$

onde θ_c é o ângulo de Cabibbo ⁽¹⁵⁾.

A forma da corrente hadrônica varia de caso para caso. Para o decaimento



a matriz de transição será:

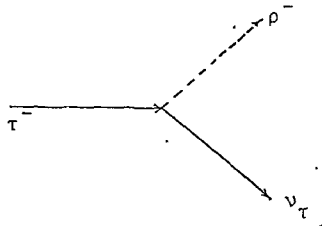
$$M = \frac{G}{\sqrt{2}} \langle 0 | h_\nu | \pi^-, p \rangle \frac{\bar{u}_e \gamma^k (1 - \gamma_5) u_{\nu_e}}{\sqrt{4 q_0 q'_0}} \quad (4.2.16)$$

onde se define por invariância de Lorentz:

$$\langle 0 | h_\nu | \pi^-, \rho \rangle = \frac{i f_\pi p_\nu \cos\theta}{\sqrt{2} p_0} c \quad (4.2.17)$$

f_π é a constante de decaimento do pión.

Já para o decaimento $\tau^- \rightarrow \rho^- \nu_\tau$ é encontrado:



$$\langle 0 | h_\lambda | \rho^- \rangle = f_\rho \cos\theta_c \epsilon_\lambda \quad (4.2.18)$$

onde ϵ_λ é o quadrivetor de polarização da partícula ρ^- .

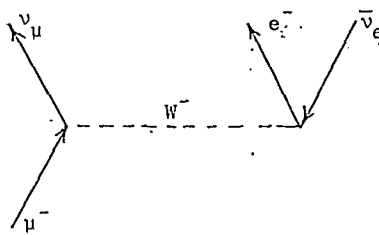
4.3 - Interação Fraca Mediada pelo Bóson Vetorial Intermediário

No caso onde se supõe que as interações fracas se processam através da troca de um bóson vetorial massivo, a Lagrangeana se escreve como (1,17):

$$\mathcal{L} = g_w j_\mu W^\mu + \text{h.c.} \quad (4.3.19)$$

A interação (4.3.19) tem a mesma forma das interações eletromagnéticas.

O decaimento $\mu^- \rightarrow e^- + \bar{\nu}_e + \nu_\mu$ passa a ser descrito pelo diagrama abaixo:



O propagador de Feynman no espaço dos momentos para o bóson intermediário massivo é descrito pela expressão :

$$F_{\mu\nu}(k) = \frac{g_{\mu\nu} - \frac{1}{2} k_\mu k_\nu}{m_W^2 - k^2 - i\epsilon} \quad (4.3.20)$$

onde k_ν é o quadrimomento transferido pelo bóson intermediário.

Experimentalmente, o formalismo corrente-corrente é válido para baixas energias. Isto implica que no limite $m_W^2 \gg k^2$ a interação fraca vetor-corrente tem as mesmas propriedades que uma interação pontual do tipo corrente-corrente.

Para $m_W \gg k^2$, $F_{\mu\nu}(k)$ se escreve como:

$$F_{\mu\nu} = \frac{g_{\mu\nu}}{m_W^2} \quad (4.3.21)$$

ou seja, os dois formalismos são equivalentes para baixas energias.

A matriz de transição do decaimento $\mu^- \rightarrow e^- \bar{\nu}_e \nu_\mu$ (17), no limite acima, se escreve como:

$$\mu = g_W^2 \bar{u}(q') \gamma_\mu (1 - \gamma_5) u(p) \frac{g_{\mu\nu}}{m_W^2} \cdot$$

$$\cdot \bar{u}(k_2) \gamma_\nu (1 - \gamma_5) u(k_1) \quad (4.3.22)$$

A comparação com a expressão na forma corrente-corrente implica que:

$$\frac{g_W^2}{m_W^2} = \frac{G_F}{\sqrt{2}} \quad (4.3.23)$$

Note-se que, conforme foi observado por Salam e Ward⁽¹⁸⁾, se se impuser $g_W^2 = e$, a massa do bõson intermediário seria $m_W \approx 38\text{GeV}$.

No entanto, a teoria com o bõson vetorial massivo não é *renormalizável*.

Ao procurarem uma teoria renormalizável, Weinberg e Salam notaram que uma teoria, cujos bõsons vetoriais não possuem massa, é *renormalizável*. Esta teoria, cujos bõsons vetoriais eram inicialmente sem massa, poderiam, no entanto, adquirir massa para estes bõsons, de modo suave pelo mecanismo de Higgs e permanecer renormalizável. Esta foi a idéia inicial na busca de uma teoria unificada para as interações fracas e eletromagnéticas (ver Capítulo VI).

CAPÍTULO V

INTERAÇÕES FRACAS E ELETROMAGNÉTICAS

5.1 - *Construção da Lagrangeana*

A experiência permite escrever, para baixas energias, uma Lagrangeana que descreve as interações eletromagnética e fraca sob um mesmo formalismo na forma:

$$\mathcal{L} = \mathcal{L}_{\text{leptons}} + \mathcal{L}_{\text{weak}} + \mathcal{L}_{\text{EM}} \quad (5.1.1)$$

onde

$$\mathcal{L}_{\text{leptons}} = \bar{e}(i\gamma^\alpha \partial_\alpha - m_e)e + \frac{1}{2} \bar{\nu}_e i\gamma^\alpha \partial_\alpha (1 - \gamma_5) \nu_e + [\text{e} + \mu] \quad (5.1.2)$$

$$\mathcal{L}_{\text{EM}} = e j_{\text{EM}}^\alpha(x) A_\alpha(x) \quad (5.1.3)$$

$$\mathcal{L}_{\text{weak}} = \frac{G}{\sqrt{2}} j_\mu^{\bar{-}}(x)_{\text{weak}} j^{\mu+}(x)_{\text{weak}} \quad (5.1.4)$$

onde j_{EM}^α e $j_{\text{weak}}^{\pm\mu}$ são respectivamente as correntes eletromagnética e fraca que são definidas como:

$$j_{\text{EM}}^\alpha(x) = - \left[\bar{e} \gamma^\alpha e + \bar{\mu} \gamma^\alpha \mu \right] \quad (5.1.5)$$

$$j_{\text{weak}}^{\alpha} = \bar{\nu}_e \gamma^{\alpha} (1 - \gamma_5) e + (e \rightarrow \mu) \quad (5.1.6)$$

Deve-se notar que $j_{\mu\text{weak}}^{-}$ é complexo conjugado de $j_{\mu\text{weak}}^{+}$.

Para maiores detalhes, veja-se Referência (1), Capítulo 10 X.

5.2 - Formalismo Isospin-Fraço

Definindo-se

$$\psi_L = \frac{1 - \gamma_5}{2} \psi \quad (5.2.7)$$

$$\psi_R = \frac{1 + \gamma_5}{2} \psi \quad (5.2.8)$$

As equações (5.1.5) e (5.1.6) podem ser reescritas como:

$$j_{EM}^{\alpha}(x) = - \left[\bar{e}_L \gamma^{\alpha} e_L + \bar{e}_R \gamma^{\alpha} e_R + (e \rightarrow \mu) \right] \quad (5.2.9a)$$

$$j_{\text{weak}}^{a+}(x) = 2 \left[\bar{e}_L \gamma^{\alpha} \nu_{eL} + (e \rightarrow \mu) \right] \quad (5.2.9b)$$

Definindo-se os dubletos

$$\underline{e}_L = \begin{pmatrix} \nu_{eL} \\ e_L \end{pmatrix} \quad (5.2.10)$$

$$\underline{\mu}_L = \begin{pmatrix} \nu_{\mu L} \\ \mu_L \end{pmatrix} \quad (5.2.11)$$

e o singlete

$$R_e = e_R \quad (5.2.12)$$

$$R_\mu = \mu_R \quad (5.2.13)$$

Das definições anteriores encontramos:

$$j_{\text{weak}}^{\alpha-} = \left[\bar{L}_e \gamma^{\alpha} \tau^- L_e + \bar{L}_\mu \gamma^{\alpha} \tau^- L_\mu \right] \cdot 2 \quad (5.2.14)$$

$$j_{\text{EM}}^{\alpha} = + \left[\bar{L}_e \gamma^{\alpha} \frac{(1-\tau^3)}{2} L_e + \bar{R}_e \gamma^{\alpha} R_e + (e + \mu) \right] \quad (5.2.15)$$

onde τ^1 , τ^2 e τ^3 são matrizes de Pauli:

$$\tau^1 = \begin{pmatrix} 0 & 1 \\ 1 & 0 \end{pmatrix}$$

$$\tau^2 = \begin{pmatrix} 0 & -i \\ i & 0 \end{pmatrix}$$

$$\tau^3 = \begin{pmatrix} 1 & 0 \\ 0 & -1 \end{pmatrix}$$

$$\tau^- = \begin{pmatrix} 0 & 0 \\ 1 & 0 \end{pmatrix}$$

$$\tau^+ = \begin{pmatrix} 0 & 1 \\ 0 & 0 \end{pmatrix}$$

$$2\tau^+ = \tau^1 + i\tau^2$$

$$2\tau^- = \tau^1 - i\tau^2$$

Novas correntes serão definidas:

$$(j_L^i)_\mu = \frac{1}{2} \left[\bar{L}_e \gamma_\mu \tau^i L_e + (e + \mu) \right] \quad (5.2.16)$$

$$(j_Y^V(x)) = - \left[\bar{L}_e \gamma^V L_e + 2\bar{R}_e \gamma^V R_e + (e + \mu) \right] \quad (5.2.17)$$

Das duas últimas equações, encontram-se:

$$(j_{\text{weak}}^{\nu})^{-} = 2 \left[(j_L^1)^{\nu} - i(j_L^2)^{\nu} \right] \quad (5.2.18)$$

$$(j_{\text{weak}}^{\nu})^{+} = 2 \left[(j_L^1)^{\nu} + i(j_L^2)^{\nu} \right] \quad (5.2.19)$$

$$j_{\text{EM}}^{\nu}(x) = (j_L^3)^{\nu} + \frac{(j_Y)^{\nu}}{2} \quad (5.2.20)$$

Definindo-se as cargas:

$$T_L^i = \int (j_L^i(x))_0 d^3x \quad \text{Cargas de Isospin Fraco} \quad (5.2.21)$$

$$Y = \int j_Y^0(x) d^3x \quad \text{Hipercarga Fraca} \quad (5.2.22)$$

$$Q = \int j_{\text{EM}}^0(x) d^3x \quad \text{Carga Eletromagnética} \quad (5.2.23)$$

encontra-se a relação:

$$Q = T_L^3 + \frac{Y}{2} \quad (5.2.24)$$

5.3 - Grupo Gerador de Uma Teoria Unificada para Interações Fracas e Eletromagnéticas

As seguintes relações de comutação são encontradas^(*):

$$\left[T_L^i, T_L^j \right] = i \epsilon_{ijk} T_L^k \quad (5.3.25)$$

$$\left[T_L^i, Y \right] = 0 \quad (5.3.26)$$

Das relações (5.3.25) e (5.3.26) podemos concluir que T_L^i e Y fecham uma álgebra $SU(2)_L \times U(1)$. Logo, $SU(2)_L \times U(1)$ é o grupo gerador mínimo de um formalismo que unifique ao mesmo tempo as interações fraca e eletromagnética.

(*) Para obter este resultado tratamos os campos leptônicos $\psi_\ell(\vec{x}, t)$ e $\psi_\nu(\vec{x}, t)$ como campos quantizados satisfazendo as seguintes regras de comutação não nulos ($\alpha, \beta = 1, 2, \dots, 4$ indicam comprimento de espinor de Dirac)

$$\{\psi_{\ell, \alpha}^+(\vec{x}, t), \psi_{\ell', \beta}(\vec{x}, t)\} = \delta^3(\vec{x} - \vec{x}') \delta_{\ell \ell'} \delta_{\alpha \beta}$$

$$\{\psi_{\nu, \alpha}^+(\vec{x}, t), \psi_{\nu, \beta}(\vec{x}, t)\} = \delta^3(\vec{x} - \vec{x}') \delta_{\ell \ell'} \delta_{\alpha \beta}$$

usamos a identidade:

$$[\overline{AB}, \overline{CD}] = -AC\{D, B\} + A\{C, B\}D + \{C, A\}DB - C\{A, D\}B$$

CAPÍTULO VI

MODELO DE WEINBERG-SALAM

6.1 - Construção do Modelo

Weinberg⁽¹⁹⁾ e Salam⁽²⁰⁾ propuseram independentemente um modelo onde as interações fracas e eletromagnéticas são descritas sob um mesmo formalismo. A descrição deste modelo se rá feita passo a passo no que se segue.

Por questão de simplicidade, supõe-se que os únicos léptons existentes são o elétron e o neutrino ν_e . Estes léptons aparecerão sob a forma de um dubleto L e um singleto R, onde

$$L = \frac{1 - \gamma_5}{2} \begin{pmatrix} \nu_e \\ e \end{pmatrix} = \begin{pmatrix} \nu_e \\ e \end{pmatrix}_L \quad (6.1.1a)$$

$$R = \frac{1 + \gamma_5}{2} = e_R \quad (6.1.1b)$$

Tentar-se-á escrever uma Lagrangeana total:

$$\mathcal{L}_0 = \mathcal{L}_0 \text{ leptons} + \mathcal{L}_0 \text{ Higgs} + \mathcal{L}_0 \text{ int} + \mathcal{L}_0 \text{ EM} \quad (6.1.2)$$

cujos termos serão explicados adiante e separadamente.

Como foi visto anteriormente, $SU(2)_L \times U(1)$ é o grupo gerador mínimo de uma teoria unificada das interações fracas

e eletromagnéticas. Portanto, $SU(2)_L \times U(1)$ será o grupo gerador do modelo W-S.

A Lagrangeana livre, devido apenas aos léptons $\underline{\nu}_e$ e \underline{e} , é escrita na forma:

$$\mathcal{L}_{\text{leptons}} = \bar{R}i\gamma^\mu \partial_\mu R + \bar{L}i\gamma^\mu \partial_\mu L + m_e \left[\bar{e}_L e_R + \bar{e}_R e_L \right]. \quad (6.1.3)$$

Exige-se que a teoria seja invariante sob o grupo $SU(2)_L \times U(1)$. Isto significa que a Lagrangeana acima é invariante sob as transformações abaixo:

$$L \rightarrow L' = e^{-i \frac{g'}{2} Y \cdot \theta(x)} e^{-ig \vec{T} \cdot \vec{\Lambda}(x)} L \quad (6.1.4a)$$

$$R \rightarrow R' = e^{-i \frac{g'}{2} Y \cdot \theta(x)} e^{-ig \vec{T} \cdot \Lambda(x)} R \quad (6.1.4b)$$

onde Y e \vec{T} são respectivamente os geradores de carga e isospin.

Tem-se então, respectivamente os autovalores dos geradores de isospin, para o dubleto e os singletos

$$\vec{T}_L = \frac{\vec{\tau}}{2} \quad (6.1.5a)$$

$$\vec{T}_R = 0 \quad (6.1.5b)$$

O vetor $\vec{\tau}$ é o vetor formado pelas matrizes de Pauli:

$$\vec{\tau} = \tau^1 \hat{i} + \tau^2 \hat{j} + \tau^3 \hat{k} \quad (6.1.6)$$

$$\tau_1 = \begin{pmatrix} 0 & 1 \\ 1 & 0 \end{pmatrix} ; \quad \tau_2 = \begin{pmatrix} 0 & -i \\ i & 0 \end{pmatrix} ; \quad \tau_3 = \begin{pmatrix} 1 & 0 \\ 0 & -1 \end{pmatrix}$$

(6.1.7a) (6.1.7b) (6.1.7c)

A fim de que a relação $Q = T_3 + \frac{Y}{2}$ seja sempre váli - da, os valores das hipercargas do dubleto e do singlete são res - pectivamente:

$$Y_L = -1 \quad (6.1.8a)$$

$$Y_R = -2 \quad (6.1.8b)$$

Logo, as eqs. (6.1.4a) e (6.1.4b) podem ser escritas como:

$$L \rightarrow L' = \exp \left\{ i \left[\frac{g'}{2} \theta(x) - \frac{g}{2} \vec{\tau} \cdot \vec{\Lambda}(x) \right] \right\} L \quad (6.1.9a)$$

$$R \rightarrow R' = \exp \left\{ i g' \theta(x) \right\} R \quad (6.1.9b)$$

Das igualdades acima, conclui-se que

$$m_e \left[\bar{e}_L e_R + \bar{e}_R e_L \right] = m_e \left[\bar{L} \begin{pmatrix} 0 \\ 1 \end{pmatrix} R + \bar{R} \begin{pmatrix} 0 & 1 \end{pmatrix} L \right] \neq$$

$$\neq m_e \left[\bar{L}' \begin{pmatrix} 0 \\ 1 \end{pmatrix} R' + \bar{R}' \begin{pmatrix} 0 & 1 \end{pmatrix} L' \right] = m_e \left[\bar{e}'_R e'_L + \bar{e}'_L e'_R \right] \quad (6.1.10)$$

A invariância sob $SU(2)_L \times U(1)$ implica que m_e seja nula.

Para construir-se uma teoria invariante sob uma trans

formação de gauge local do tipo $SU(2)_L \times U(1)$ e que seja coerente com a teoria de Yang-Mills, serão feitas duas hipóteses.

1^a) - A Lagrangeana inicial não contém termo de massa para o elétron;

2^a) - A teoria de Yang-Mills requer que a Lagrangeana correta tenha a forma abaixo:

$$\begin{aligned} \mathcal{L}_{\text{leptons}} = & \bar{R} i \gamma^\mu (\partial_\mu + i g' B_\mu) R + \\ & + \bar{L} i \gamma^\mu (\partial_\mu + i \frac{g'}{2} B_\mu - i \frac{g}{2} \vec{\tau} \cdot \vec{A}_\mu)_L \end{aligned} \quad (6.1.11)$$

Os bósons vetoriais compensadores se transformam segundo as expressões:

$$B_\mu \rightarrow B'_\mu = B_\mu + \frac{1}{g'} \partial_\mu \theta(x) \quad (6.1.12)$$

$$\vec{A}_\mu \rightarrow \vec{A}'_\mu = \vec{A}_\mu - \partial_\mu \vec{\lambda}(x) + g(\vec{\lambda}(x) \times \vec{A}_\mu(x)) \quad (6.1.13)$$

Além da parte puramente leptônica, existe uma outra parte devido a bósons escalares, a Lagrangeana de Higgs $\mathcal{L}_{\text{Higgs}}$. Estes bósons são introduzidos sob a forma de um isodoubleto ⁽²⁾:

$$\phi = \begin{Bmatrix} \phi^+ \\ \phi^0 \end{Bmatrix} \quad (6.1.14)$$

onde ϕ^+ e ϕ^0 são, respectivamente, um campo escalar positivo de carga e e um campo neutro.

Esta parte escalar tem a finalidade de gerar massa pa

ra os bósons vetoriais pelo *Mecanismo de Higgs* ⁽²⁾.

Pela relação $Q = T_3 + \frac{Y}{2}$ acha-se $Y_\phi = 1$. Então, pode-se escrever uma Lagrangeana invariante sob $SU(2)_L \times U(1)$

$$\begin{aligned} \mathcal{L}_{\text{Higgs}} = & \left[\partial_\mu \phi^\dagger + i \frac{g'}{2} B_\mu \phi^\dagger + \frac{g}{2} \vec{\tau} \cdot \vec{A}_\mu \phi^\dagger \right] \cdot \\ & \cdot \left[\partial^\mu \phi - i \frac{g'}{2} B^\mu \phi - i \frac{g}{2} \vec{\tau} \cdot \vec{A}^\mu \phi \right] - V(\phi^\dagger \phi) \end{aligned} \quad (6.1.15)$$

onde

$$V(\phi^\dagger \phi) = \mu^2 \phi^\dagger \phi + \lambda (\phi^\dagger \phi)^2 \quad (6.1.16)$$

$$\mu^2 < 0 \quad \text{e} \quad \lambda > 0$$

de modo que este termo quebre espontaneamente a simetria acima.

A parte devida aos bósons vetoriais compensadores será:

$$\mathcal{L}_{\text{EM}} = -\frac{1}{4} F_{\mu\nu} F^{\mu\nu} - \frac{1}{4} \vec{A}_{\mu\nu} \cdot \vec{A}^{\mu\nu} \quad (6.1.17)$$

onde:

$$F_{\mu\nu} = \partial_\mu B_\nu - \partial_\nu B_\mu \quad (6.1.18a)$$

$$\vec{A}_{\mu\nu} = \partial_\mu \vec{A}_\nu - \partial_\nu \vec{A}_\mu + g(\vec{A}_\mu \times \vec{A}_\nu) \quad (6.1.18b)$$

Além de tudo isto, existe uma parte que descreve a interação dos léptons com os bósons de Higgs:

$$\mathcal{L}_{\text{int}} = -G_e \left[\bar{R} \phi^\dagger L + \bar{L} \phi R \right] \quad (6.1.19)$$

6.2 - *Aplicação do Mecanismo de Higgs ao Modelo de Weinberg - Salam*

Devido ao fato de $\mu^2 < 0$, ou seja, haver quebra espontânea da simetria, podemos desenvolver ϕ em torno do valor esperado de vácuo $\langle \phi \rangle_0 \neq 0$. Obtém-se então:

$$\phi = \exp \left[-i \frac{\xi \cdot \vec{\tau}}{2} \right] \begin{pmatrix} 0 \\ \frac{v+\eta(x)}{2} \end{pmatrix} \quad (6.2.20)$$

Nada impede que seja feita uma transformação de gauge local do tipo

$$\phi(x) \rightarrow \phi'(x) = \begin{pmatrix} 0 \\ \frac{v+\eta(x)}{\sqrt{2}} \end{pmatrix} = \exp \left[i \frac{\xi \cdot \vec{\tau}}{2} \right] \phi(x) \quad (6.2.21)$$

Devido à transformação acima, novos campos são obtidos:

$$\phi(x) \rightarrow \phi'(x) = \begin{pmatrix} 0 \\ \frac{v+\eta(x)}{\sqrt{2}} \end{pmatrix} \quad (6.2.22)$$

$$R(x) \rightarrow R'(x) = R(x) \quad (6.2.23a)$$

$$B_\mu(x) \rightarrow B'_\mu(x) = B_\mu(x) \quad (6.2.23b)$$

$$\vec{A}_\mu(x) \rightarrow \vec{A}'_\mu(x) = \vec{A}_\mu(x) - \partial_\mu \xi(x) - \xi(x) \times \vec{A}_\mu(x) \quad (6.2.23c)$$

A partir dos novos campos obtidos acima, encontrare-

mos os valores das diversas Lagrangeanas. Não é necessário dizer que as Lagrangeanas são invariantes sob estas transformações de gauge.

A Lagrangeana de interação será:

$$\mathcal{L}_{\text{int}}(x) = - \frac{G_e}{\sqrt{2}} \left[\bar{e}_L e_R + \bar{e}_R e_L \right] + \dots = - \frac{G_e v}{2} \bar{e} e \quad (6.2.24)$$

Através do mecanismo de Higgs, o elétron que inicialmente era desprovido de massa, adquiriu uma massa cujo valor é:

$$m_e = \frac{G_e v}{\sqrt{2}} \quad (6.2.25)$$

A parte escalar assume a forma:

$$\begin{aligned} \mathcal{L}_{\text{Higgs}} = & \chi_-^\dagger \left[\partial_\mu \eta + i \frac{g'}{2} B_\mu (v+\eta) + i \frac{g}{2} \vec{\tau} \cdot \vec{A}_\mu (v+\eta) \right] \left[\partial^\mu \eta - \right. \\ & \left. - i \frac{g'}{2} B^\mu (v+\eta) - i \frac{g}{2} \vec{\tau} \cdot \vec{A}^\mu (v+\eta) \right] \chi_- - \frac{\mu^2}{2} (v+\eta)^2 - \frac{\lambda}{4} (v+\eta)^2 \end{aligned} \quad (6.2.26)$$

χ_- é definido em:

$$\chi_- = \begin{Bmatrix} 0 \\ 1 \end{Bmatrix} \quad (6.2.27)$$

Desprezando-se os termos constantes e os de ordem superior, a Lagrangeana de Higgs assumirá o seguinte valor:

$$\begin{aligned} \mathcal{L}_{\text{Higgs}} = & \partial_\mu \eta \partial^\mu \eta + \frac{v^2}{8} \left[g' B_\mu - g A_\mu^3 \right] \left[g' B^\mu - g A^{3\mu} \right] + \frac{v^2 g^2}{8} \left[A_\mu^1 A^{1\mu} + \right. \\ & \left. + A_\mu^2 A^{2\mu} \right] - v \left(\frac{v+\eta}{\sqrt{2}} \right)^2 \quad (6.2.28) \end{aligned}$$

Definam-se

$$W_{\mu}^{\pm} = \frac{A_{\mu}^1 \mp iA_{\mu}^2}{\sqrt{2}} \quad (6.2.29a)$$

$$Z_{\mu} = \frac{gA_{\mu}^3 - g'B_{\mu}}{(g^2 + g'^2)^{1/2}} \quad (6.2.29b)$$

$$A_{\mu} = \frac{gB_{\mu} + g'A_{\mu}^3}{(g^2 + g'^2)^{1/2}} \quad (6.2.29c)$$

Das expressões acima, tem-se:

$$\begin{aligned} \mathcal{L}_{\text{Higgs}} = \frac{1}{2} \partial_{\mu} \eta \partial^{\mu} \eta + \left(\frac{1}{2} g v\right)^2 W_{\mu}^{-} W^{\mu+} + \frac{1}{2} \left[\frac{v(g^2 + g'^2)^{1/2}}{2} \right]^2 \\ Z_{\mu} Z^{\mu} - \mu^2 \eta \end{aligned} \quad (6.2.30)$$

Após a aplicação do mecanismo de Higgs chega-se à expressão (6.2.30) que fornece uma teoria onde há:

- i) - um bóson escalar de massa $m_{\eta} = -2\mu^2$;
- ii) - dois bósons vetoriais carregados e massivos W_{μ}^{+} e W_{μ}^{-} de massa $m_W = \frac{1}{2} g v$;
- iii) - um bóson vetorial neutro Z_{μ} de massa $m_Z = \frac{1}{2} v \sqrt{g^2 + g'^2}$;
- iv) - um bóson vetorial de massa nula A_{μ} que pode se identificar como fóton.

Se foi definido θ_W , ângulo de Weinberg, como:

$$\text{tg} \theta_W = g'/g \quad (6.2.31)$$

chega-se às expressões abaixo:

$$A_{\mu}^3 = -A_{\mu} \operatorname{sen}\theta_W + Z_{\mu} \operatorname{cos}\theta_W \quad (6.2.32)$$

$$B_{\mu} = A_{\mu} \operatorname{cos}\theta_W + Z_{\mu} \operatorname{sen}\theta_W \quad (6.2.33)$$

A Lagrangeana Leptônica (6.1.11) em termos de A_{μ} , Z_{μ} e W_{μ}^{\pm} será reescrita como

$$\begin{aligned} \mathcal{L}_{\text{leptons}} = & i \bar{e} \gamma^{\mu} \partial_{\mu} e + i \bar{\nu}_L \gamma^{\mu} \partial_{\mu} \dot{\nu}_L - \frac{g'}{2} \left[\operatorname{cos}\theta_W A_{\mu} + \operatorname{sen}\theta_W Z_{\mu} \right] \\ & \left[2\bar{e}_R \gamma^{\mu} e_R + \bar{e}_L \gamma^{\mu} e_L + \bar{\nu}_L \gamma^{\mu} \dot{\nu}_L \right] + \frac{g}{2} \left[\operatorname{sen}\theta_W A_{\mu} - \operatorname{cos}\theta_W Z_{\mu} \right] \\ & \left[\bar{e}_L \gamma^{\mu} e_L - \bar{\nu}_L \gamma^{\mu} \dot{\nu}_L \right] + \frac{g}{\sqrt{2}} \left[\bar{\nu}_L \gamma^{\mu} e_L W_{\mu}^{+} + \bar{e}_L \gamma^{\mu} \dot{\nu}_L W_{\mu}^{-} \right] \end{aligned} \quad (6.2.34)$$

Reagrupando-se a expressão (6.2.34) em fatores de A e Z :

$$\begin{aligned} \mathcal{L}_{\text{leptons}} = & i \bar{e} \gamma^{\mu} \partial_{\mu} e + i \bar{\nu}_L \gamma^{\mu} \partial_{\mu} \dot{\nu}_L + \frac{g}{\sqrt{2}} \left[\bar{\nu}_L \gamma^{\mu} e_L W_{\mu}^{+} + \bar{e}_L \gamma^{\mu} \dot{\nu}_L W_{\mu}^{-} \right] \\ & - \frac{gg'}{\sqrt{g^2 + g'^2}} \bar{e} \gamma^{\mu} e A_{\mu} - \frac{Z_{\mu}}{2(g^2 + g'^2)^{1/2}} \left[g'^2 (2\bar{e}_R \gamma^{\mu} e_R + \right. \\ & \left. + \bar{e}_L \gamma^{\mu} e_L + \bar{\nu}_L \gamma^{\mu} \dot{\nu}_L) - g^2 (\bar{e}_L \gamma^{\mu} e_L - \bar{\nu}_L \gamma^{\mu} \dot{\nu}_L) \right] \end{aligned} \quad (6.2.35)$$

O termo $-gg'(g^2 + g'^2)^{-1/2} \bar{e} \gamma^{\mu} e A_{\mu}$ não é nada mais que descrição da interação eletromagnética de uma partícula de

carga $-gg'(g^2+g'^2)^{-1/2}$ com o campo eletromagnético A_μ . Conclue-se que, além do A_μ ser o próprio campo eletromagnético, a carga eletrônica se relaciona a g' e g por:

$$e = \frac{gg'}{\sqrt{g^2+g'^2}} \quad (6.2.36)$$

Z_μ é um bóson intermediário neutro e W_μ^+ e W_μ^- são os bósons intermediários carregados.

Algumas relações entre G , g e v podem ser encontradas a partir da eq. (4.3.23) (2):

$$\frac{G}{\sqrt{2}} = \frac{g^2}{2M_W^2} = \frac{1}{2v^2} \quad (6.2.37)$$

$$M_W^2 = \frac{1}{4} g^2 v^2 = \frac{e^2}{\text{sen}^2 \theta_W} \frac{1}{4\sqrt{2} G} \quad (6.2.38)$$

Disto se conclue:

$$M_W = \frac{38}{\text{sen} \theta_W} \text{ GeV} \quad (6.2.39)$$

$$M_Z = \frac{M_W}{\cos \theta_W} = \frac{38}{\frac{1}{2} \text{sen}^2 \theta_W} \text{ GeV} \quad (6.2.40)$$

Como $g' \neq 0$ não é permitido, então, $0 < \cos \theta_W < 1$ e $\text{sen} \theta_W > 0$, o que implica

$$M_Z > M_W \quad \text{e} \quad M_Z > 76 \text{ GeV.}$$

CAPÍTULO VII

MODELO DE WEINBERG-SALAM PARA QUARKS

Se os quarks puderem ser incorporados ao modelo de Weinberg-Salam, haverá então uma teoria unificada das interações fracas e eletromagnéticas que abrangerá todas as partículas conhecidas: o fóton, o lépton e o hadron.

Tenta-se construir uma teoria para os hadrons (quarks) tomando-se os mesmos argumentos usados no caso dos léptons.

Inicialmente se tentou construir o modelo com a incorporação dos três quarks então conhecidos: u, d e s. Nesta teoria surgiu uma grande incoerência. Havia na Lagrangeana uma corrente neutra com mudança de estranheza. Isto nunca foi observado experimentalmente ⁽²¹⁾.

Para contornar este problema, Glashow, Iliopoulos e Maiani ⁽²¹⁾ propuseram aumentar o modelo de quarks para quatro quarks, onde o novo quark carregava um novo número quântico c, ou número de charm.

As propriedades dos quarks do modelo de GIM, acham-se na Tabela 7.1.

7.1 - Modelo de GIM - Construção do Modelo

Neste modelo os quarks aparecerão sob a forma de dois

Tabela 7.1 - Números quânticos dos quarks u, c, d e s.

| | Q | S | B | C |
|---|------|----|-----|---|
| u | 2/3 | 0 | 1/3 | 0 |
| c | 2/3 | 0 | 1/3 | 1 |
| d | -1/3 | 0 | 1/3 | 0 |
| s | -1/3 | -1 | 1/3 | 0 |

Q - carga elétrica; S - estranheza; B - número bariônico ;
C - número de charm.

dubletos de isospin fraco (L_1 e L_2) e quatro singletes (u_R , c_R , d_{cR} e s_{cR}) de isospin fraco, definidos pelas expressões:

$$L_1 = \begin{pmatrix} u \\ d_c \end{pmatrix}_L \quad (7.1.1a) \quad ; \quad L_2 = \begin{pmatrix} c \\ s_c \end{pmatrix}_L \quad (7.1.1b)$$

$$\begin{pmatrix} d_c \\ s_c \end{pmatrix} = \begin{pmatrix} \cos\theta & \text{sen}\theta \\ -\text{sen}\theta & \cos\theta \end{pmatrix} \begin{pmatrix} d \\ c \end{pmatrix}^{\mu} \quad (7.1.1c)$$

A parte hadrônica da Lagrangeana que é invariante sob $SU(2)_L \times U(1)$ é escrita como:

$$\begin{aligned} \mathcal{L}_{\text{quarks}} = & i \bar{L}_1 \gamma^\mu (\partial_\mu - i \frac{g'}{2} Y_{L_1} B_\mu - i \frac{g}{2} \vec{\tau} \cdot \vec{A}_\mu) L_1 + \\ & + i \bar{L}_2 \gamma^\mu (\partial_\mu - i \frac{g'}{2} Y_{L_2} B_\mu - i \frac{g}{2} \vec{\tau} \cdot \vec{A}_\mu) L_2 + \end{aligned}$$

$$\begin{aligned}
 & + i \bar{u}_R \gamma^\mu (\partial_\mu - i \frac{g'}{2} Y_{u_R} B_\mu) u_R + \\
 & + i \bar{c}_R \gamma^\mu (\partial_\mu - i \frac{g'}{2} Y_{c_R} B_\mu) c_R + \\
 & + i \bar{d}_R \gamma^\mu (\partial_\mu - i \frac{g'}{2} Y_{d_R} B_\mu) d_R + \\
 & + i \bar{s}_R \gamma^\mu (\partial_\mu - i \frac{g'}{2} Y_{s_R} B_\mu) s_R
 \end{aligned} \tag{7.1.2}$$

Os diversos Y são geradores de hipercarga fraca, e a relação (7.1.3) é sempre válida:

$$Q = T_3 + \frac{Y}{2} \tag{7.1.3}$$

Da eq. (7.1.3) são encontradas:

$$Y_{u_R} = Y_{c_R} = \frac{4}{3} \tag{7.1.4a}$$

$$Y_{d_{c_R}} = Y_{s_{c_R}} = -\frac{2}{3} \tag{7.1.4b}$$

$$Y_{L_1} = Y_{L_2} = Y_L = \begin{pmatrix} \frac{1}{3} & 0 \\ 0 & \frac{1}{3} \end{pmatrix} \tag{7.1.4c}$$

Definindo-se:

$$R_1 = \begin{pmatrix} u \\ d_c \end{pmatrix}_R \tag{7.1.5a}$$

$$R_2 = \begin{pmatrix} e \\ s_c \end{pmatrix}_R \tag{7.1.5b}$$

$$Y_R = \begin{pmatrix} \frac{4}{3} & 0 \\ 0 & -\frac{2}{3} \end{pmatrix}$$

(7.1.5c)

$$Q = \begin{pmatrix} \frac{2}{3} & 0 \\ 0 & -\frac{1}{3} \end{pmatrix}$$

(7.1.5d)

$$T = \begin{pmatrix} \frac{1}{2} & 0 \\ 0 & -\frac{1}{2} \end{pmatrix}$$

(7.1.5e)

verifica-se, então, a relação entre as matrizes

$$Y_L = 2Q - 2T \quad (7.1.6a)$$

$$Y_R = 2Q \quad (7.1.6b)$$

Além do mais, $\mathcal{L}_{\text{quarks}}$ pode ser reescrita corretamente sob a forma compacta:

$$\begin{aligned} \mathcal{L}_{\text{quarks}} = & i \bar{L}_1 \gamma^\mu (\partial_\mu - i \frac{g'}{2} Y_L B_\mu - i \frac{g}{2} \vec{\tau} \cdot \vec{A}_\mu) + \\ & + i \bar{L}_2 \gamma^\mu (\partial_\mu - i \frac{g'}{2} Y_L B_\mu - i \frac{g}{2} \vec{\tau} \cdot \vec{A}_\mu) + \\ & + i \bar{R}_1 \gamma^\mu (\partial_\mu - i \frac{g'}{2} Y_R B_\mu) R_1 + \\ & + i \bar{R}_2 \gamma^\mu (\partial_\mu - i \frac{g'}{2} Y_R B_\mu) R_2 \end{aligned} \quad (7.1.7)$$

Das eqs. (6.2.32), (6.2.33) e (7.1.2) encontramos:

$$\begin{aligned} \mathcal{L}_I = & g' \bar{L}_1 \gamma^\mu Q L_1 (A_\mu \cos \theta_W - Z_\mu \sin \theta_W) + \\ & + g' \bar{R}_1 \gamma^\mu Q L_1 (A_\mu \cos \theta_W - Z_\mu \sin \theta_W) + \end{aligned}$$

$$\begin{aligned}
 & + g' \bar{L}_2 \gamma^{\mu} Q L_2 (A_{\mu} \cos \theta_W - Z_{\mu} \text{sen} \theta_W) + \\
 & + g' \bar{R}_2 \gamma^{\mu} Q R_2 (A_{\mu} \cos \theta_W - Z_{\mu} \text{sen} \theta_W) + \\
 & - g' \bar{L}_1 \gamma^{\mu} T L_1 (A_{\mu} \cos \theta_W - Z_{\mu} \text{sen} \theta_W) + \\
 & - g' \bar{L}_2 \gamma^{\mu} T L_2 (A_{\mu} \cos \theta_W - Z_{\mu} \text{sen} \theta_W) + \\
 & + g L_1 \gamma^{\mu} T L_1 (A_{\mu} \text{sen} \theta_W + Z_{\mu} \cos \theta_W) + \\
 & + g L_2 \gamma^{\mu} T L_2 (A_{\mu} \text{sen} \theta_W + Z_{\mu} \cos \theta_W) + \\
 & + \frac{g}{\sqrt{2}} \bar{L}_1 \gamma^{\mu} \left[\tau^- W_{\mu}^- + \tau^+ W_{\mu}^+ \right] L_1 + \\
 & + \frac{g}{\sqrt{2}} \bar{L}_2 \gamma^{\mu} \left[\tau^- W_{\mu}^- + \tau^+ W_{\mu}^+ \right] L_2
 \end{aligned} \tag{7.1.8}$$

Já que $\tau^3 = 2T$, então:

$$\begin{aligned}
 \phi_1 = & \frac{g}{\sqrt{2}} \bar{L}_1 \gamma^{\mu} (\tau^- W_{\mu}^- + \tau^+ W_{\mu}^+) L_1 + \\
 & + \frac{g}{\sqrt{2}} L_2 \gamma^{\mu} (\tau^- W_{\mu}^- + \tau^+ W_{\mu}^+) L_2 + \\
 & + \frac{gg'}{(g^2 + g'^2)^{1/2}} A_{\mu} j_{EM}^{\mu} + \\
 & + (g^2 + g'^2)^{1/2} Z_{\mu} \left[\bar{L}_1 \gamma^{\mu} T L_1 + \bar{L}_2 \gamma^{\mu} T L_2 - \text{sen}^2 \theta_W j_{EM}^{\mu} \right]
 \end{aligned} \tag{7.1.9}$$

onde:

$$j_{EM}^\mu = \frac{2}{3} \bar{u} \gamma^\mu u + \frac{2}{3} \bar{c} \gamma^\mu c - \frac{1}{3} \bar{d} \gamma^\mu d - \frac{1}{3} \bar{s} \gamma^\mu s \quad (7.1.10)$$

e

$$\bar{l}_1 \gamma^\mu T_{L_1+L_2} \gamma^\mu T_{L_2} = \frac{1}{2} \left[\bar{u}_L \gamma^\mu u_L + \bar{c}_L \gamma^\mu c_L - \bar{d}_L \gamma^\mu d_L - \bar{s}_L \gamma^\mu s_L \right] \quad (7.1.11)$$

Verifica-se então que não há corrente neutra com mudança de estranheza. Além do mais as correntes neutras e eletromagnéticas estão de acordo com os dados experimentais.

7.2 - Interação Quark-Bóson de Higgs

Resta construir um termo que descreva as interações dos quarks com os bósons de Higgs ⁽²⁾. Este termo é necessário, pois a partir dele as massas dos quarks serão geradas.

Definindo-se:

$$\tilde{\phi} = i \tau^2 \phi^* = \begin{pmatrix} \phi^0 \\ -\phi^- \end{pmatrix} \quad (7.2.12)$$

encontra-se o termo de interação desejado.

$$\begin{aligned} \mathcal{L}_{QN} &= g_1 \bar{L}_1 \tilde{\phi} u_R + g_2 \bar{L}_2 \tilde{\phi} u_R \\ &+ g_3 \bar{L}_1 \tilde{\phi} e_R + g_4 \bar{L}_2 \tilde{\phi} c_R \\ &+ g_5 \bar{L}_1 \tilde{\phi} d_R + g_6 \bar{L}_2 \tilde{\phi} d_R \\ &+ g_7 \bar{L}_1 \tilde{\phi} s_R + g_8 \bar{L}_2 \tilde{\phi} s_R + \text{h.c.} \end{aligned} \quad (7.2.13)$$

Através da mesma transformação de gauge do modelo W-S encontramos :

$$\langle \phi \rangle_0 = \begin{pmatrix} 0 \\ v/\sqrt{2} \end{pmatrix} \quad (7.2.14)$$

$$\langle \hat{\phi} \rangle_0 = \begin{pmatrix} v/\sqrt{2} \\ 0 \end{pmatrix} \quad (7.2.15)$$

Então:

$$\begin{aligned} \mathcal{L}_{QN} = & \frac{g_1 v}{\sqrt{2}} \bar{u}u + \frac{g_2 v}{\sqrt{2}} (\bar{c}_L u_R + \bar{u}_R c_L) \\ & + \frac{g_3 v}{\sqrt{2}} (\bar{u}_L c_R + \bar{c}_R u_L) + \frac{g_4 v}{\sqrt{2}} \bar{c}c + \\ & + \frac{g_5 v}{\sqrt{2}} (\bar{d}d \cos\theta_c + (\bar{s}_L d_R + \bar{d}_R s_L) \sin\theta) + \\ & + \frac{g_6 v}{\sqrt{2}} (-\bar{d}d \sin\theta_c + (\bar{s}_L d_R + \bar{d}_R s_L) \cos\theta_c) \\ & + \frac{g_7 v}{\sqrt{2}} ((\bar{d}_L s_R + s_R d_L) \cos\theta_c + \bar{s}s \sin\theta_c) \\ & + \frac{g_8 v}{\sqrt{2}} (-(\bar{d}_L s_R + \bar{s}_R d_L) \sin\theta_c + \bar{s}s \cos\theta_c). \quad (7.2.16) \end{aligned}$$

Algumas conclusões sobre as massas dos quarks podem ser tiradas (2) :

$$m_u = g_1 v/\sqrt{2} \quad (7.2.17a)$$

$$m_c = g_4 v/\sqrt{2} \quad (7.2.17b)$$

$$m_d = \frac{v}{\sqrt{2}} \left[g_5 \cos\theta_c - g_6 \sin\theta_c \right] \quad (7.2.17c)$$

$$m_s = \frac{v}{\sqrt{2}} \left[g_7 \sin\theta_c - g_3 \cos\theta_c \right] \quad (7.2.17d)$$

$$\frac{g_5}{g_6} = - \cot\theta_c \quad (7.2.17e)$$

$$g_2 = - g_3 \quad (7.2.17f)$$

$$\frac{g_7}{g_8} = \tan\theta_c \quad (7.2.17g)$$

Das equações (7.2.17a) – (7.2.17g) pode-se concluir que os quarks interagem fracamente com os bósons de Higgs já que os g_i são cerca de 1% de G_F . Para uma discussão mais detalhada veja Referência (2), Secção 8.

CAPÍTULO VIII

MODELO DE WEINBERG-SALAM PARA SEIS QUARKS

A descoberta do novo lepton e a necessidade da existência do neutrino ν_τ sugerem um aumento no setor de quarks, caso a simetria quark-lepton seja válida.

O setor de quarks passa, então, a ser constituído dos quarks u, c, d e s juntamente com os novos membros da família, caso a anomalia de Adler-Bell Jackiw seja satisfeita.

Tabela 8.1 - Números quânticos dos quarks u, c, t, d, s e b.

| | Q | B | S |
|---|------|------------------|----|
| u | 2/3 | 1/2 ³ | 0 |
| c | 2/3 | 1/3 | 0 |
| t | 2/3 | 1/3 | 0 |
| d | -1/3 | 1/3 | 0 |
| s | -1/3 | 1/3 | -1 |
| b | -1/3 | 1/3 | 0 |

Q - carga elétrica; B - número bariônico; S estranheza .

.1 - *Construção do Modelo*

Devido ao sucesso do modelo de GIM para quatro quarks,

a teoria para seis quarks será fundamentalmente o modelo de GIM ampliado (21,23).

No caso de quatro quarks existem, conforme foi visto anteriormente, quatro singletos direitos e dois dubletos esquerdos que podem ser escritos sob a forma de dois quartetos de helicidades de sinais contrários.

Para uma teoria de seis quarks serão necessários três dubletos esquerdos e seis singletos direitos (22). Esta teoria também pode ser descrita através de dois sextetos de helicidades contrárias.

Serão definidos os dois sextetos:

$$q_L(x) = \frac{1 - \gamma_5}{2} q(x) \quad (8.1.1a)$$

$$q_R(x) = \frac{1 + \gamma_5}{2} q(x) \quad (8.1.1b)$$

$$q(x) = \begin{Bmatrix} u(x) \\ c(x) \\ t(x) \\ d(x) \\ s(x) \\ b(x) \end{Bmatrix} \quad (8.1.2)$$

Como este modelo deve ser invariante sob uma transformação de gauge local do grupo $SU(2)_L \times U(1)$, a Lagrangeana da parte hadrônica será descrita pela expressão (8.1.3):

$$\mathcal{L}_{\text{quarks}} = i\bar{q}_L \gamma^\mu (\partial_\mu - i \frac{g'}{2} Y_L B_\mu - i \frac{g}{2} \bar{L} A_\mu) q_L + i\bar{q}_R \gamma^\mu (\partial_\mu - i \frac{g'}{2} Y_R B_\mu) q_R \quad (8.1.3)$$

onde Y_R e Y_L são os geradores de hipercarga fraca para os setores $q_R(x)$ e $q_L(x)$, respectivamente.

As matrizes \vec{L} obedecem às regras de comutação abaixo:

$$[L^i, L^j] = i \epsilon_{ijk} L^k \quad (8.1.4)$$

$$L^+ = \frac{L^1 + iL^2}{2} = \sqrt{2} S^+ \quad (8.1.5)$$

$$L^- = \frac{L^1 - iL^2}{2} = \sqrt{2} S^- \quad (8.1.6)$$

$$L^3 = 2 S^3 \quad (8.1.7)$$

A álgebra $SU(2)_L \times U(1)$ implica na relação:

$$Q = S_3 + \frac{Y}{2} \quad (8.1.8)$$

onde S_3 é a terceira componente do isospin, e

$$Q = \begin{bmatrix} 2/3 & & & & & \\ & 2/3 & & & & 0 \\ & & 2/3 & & & \\ & & & -1/3 & & \\ 0 & & & & -1/3 & \\ & & & & & -1/3 \end{bmatrix} \quad (8.1.9)$$

$$Y_L = \frac{1}{3} \begin{bmatrix} 1 & & & & & \\ & 1 & & & & 0 \\ & & 1 & & & \\ & & & 1 & & \\ 0 & & & & 1 & \\ & & & & & 1 \end{bmatrix} \quad (8.1.10)$$

$$Y_R = \begin{bmatrix} 4/3 & & & & & \\ & 4/3 & & & & \\ & & 4/3 & & & \\ & & & -2/3 & & \\ & & & & -2/3 & \\ & & & & & -2/3 \end{bmatrix} \quad (8.1.11)$$

Pode-se escrever então:

$$\begin{aligned} \text{quarks} &= i\bar{q}\gamma^\mu \partial_\mu q + \frac{g'}{2} \bar{q}_L \gamma^\mu Y_L q_L B_\mu + \frac{g'}{2} \bar{q}_R \gamma^\mu Y_R q_R B_\mu + \\ &+ \frac{g}{2} \bar{q}_L \gamma^\mu (\sqrt{2} W_\mu^+ L^+ + \sqrt{2} W_\mu^- L^- + L^3 A_\mu^3) q_L = \\ &= i \bar{q} \gamma^\mu \partial_\mu q + g' \bar{q}_L \gamma^\mu Y_L q_L B_\mu + \frac{g'}{2} \bar{q}_R \gamma^\mu Y_R q_R B_\mu + \\ &+ g \bar{q}_L \gamma^\mu \left[W_\mu^+ S^+ + W_\mu^- S^- + W_\mu^3 S^3 \right] q_L \end{aligned} \quad (8.1.12)$$

Os bósons W_μ^\pm foram definidos seguindo a equação (6.2.29a) e $W_\mu^3 = A_\mu^3$.

Construindo-se:

$$L^+ = \begin{pmatrix} 0 & U \\ 0 & 0 \end{pmatrix} \quad (8.1.13) \quad L^- = \begin{pmatrix} 0 & 0 \\ U^+ & 0 \end{pmatrix} \quad (8.1.14)$$

$$L^3 = \begin{pmatrix} I & 0 \\ 0 & -I \end{pmatrix} = 2S_3 \quad (8.1.15) \quad ; \quad I = I(3 \times 3) \quad (8.1.16)$$

$$U = U(3 \times 3) \quad (8.1.17)$$

$$U^+ U = U^+ U = I \quad (8.1.18)$$

$$U = \begin{bmatrix} \cos\theta & \text{sen}\theta\cos\psi & \text{sen}\theta\text{sen}\psi \\ -\text{sen}\theta\cos\psi & \cos\theta\cos\phi\cos\psi - \text{sen}\theta\text{sen}\psi e^{i\delta} & \cos\theta\text{sen}\phi\cos\psi + \cos\phi\text{sen}\psi e^{i\delta} \\ \text{sen}\theta\text{sen}\psi & -\cos\theta\text{sen}\psi\cos\phi - \text{sen}\theta\cos\psi e^{i\delta} & -\cos\theta\text{sen}\phi\text{sen}\psi + \cos\phi\cos\psi e^{i\delta} \end{bmatrix} \quad (8.1.19)$$

Para uma melhor compreensão da matriz e especialmente do fator de fase $e^{i\delta}$ é interessante consultar a Ref. (23), Secção 4.7.

$$A_\mu = B_\mu \cos\theta_W + A_\mu \text{sen}\theta_W \quad (8.1.20)$$

$$Z_\mu = B_\mu \text{sen}\theta_W + A_\mu \cos\theta_W \quad (8.1.21)$$

$$\frac{g'}{g} = \text{tg } \theta_W \quad (8.1.22)$$

θ_W é o ângulo de Weinberg.

Chega-se à relação:

$$\mathcal{L} = i\bar{q}\gamma^\mu \partial_\mu q + L_I \quad (8.1.23)$$

onde

$$\begin{aligned} \mathcal{L}_I = & g\bar{q}_L\gamma^\mu A_\mu^3 q_L + \frac{g'}{2} \bar{q}_R\gamma^\mu Y_R q_R B_\mu + \\ & + \frac{g'}{2} \bar{q}_L\gamma^\mu Y_L q_L B_\mu + \\ & + \frac{g}{\sqrt{2}} (\bar{u} \ \bar{c} \ \bar{t})_L \gamma^\mu W_\mu^+ \begin{pmatrix} d \\ s \\ b \end{pmatrix}_L \\ & + \frac{g}{\sqrt{2}} (\bar{d} \ \bar{s} \ \bar{b})_L \gamma^\mu W_\mu^- \begin{pmatrix} u \\ c \\ t \end{pmatrix}_L \end{aligned} \quad (8.1.24)$$

Como:

$$Y_L = 2Q - 2S^3, \quad (8.1.25)$$

$$Y_R = 2Q \quad (8.1.26)$$

e

$$B_\mu = A_\mu \cos\theta_W + Z_\mu \sin\theta_W \quad (8.1.26a)$$

$$Z_\mu^3 = A_\mu \sin\theta_W + Z_\mu \cos\theta_W \quad (8.1.26b)$$

consegue-se chegar à relação:

$$\begin{aligned} \mathcal{L}_I = & \frac{gg'}{\sqrt{g^2+g'^2}} A_\mu \bar{q} \gamma^\mu Q q \\ & + (g^2+g'^2)^{1/2} Z_\mu \left[\bar{q}_L S_3 \gamma^\mu q_L - \sin^2\theta_W \bar{q} \gamma^\mu Q q \right] \\ & + \frac{g}{\sqrt{2}} (\bar{u} \ \bar{c} \ \bar{t})_L \cdot \gamma^\mu W_\mu^+ U \begin{pmatrix} d \\ s \\ b \end{pmatrix}_L + \\ & + \frac{g}{\sqrt{2}} (\bar{d} \ \bar{s} \ \bar{b})_L \cdot \gamma^\mu W_\mu^- \begin{pmatrix} u \\ c \\ t \end{pmatrix}_L \end{aligned} \quad (8.1.27)$$

A expressão anterior fornece uma corrente eletromagnética que se acopla ao bóson A_μ (fóton), uma corrente fraca que se acopla ao bóson intermediário neutro Z_μ e as correntes fracas carregadas que se acoplam aos bósons carregados W_μ^\pm .

8.2 - Violação CP

O modelo de GIM não prevê a violação-CP que é observa

do na natureza (22). Como será visto, o modelo de 6-quarks inclui violação-CP.

Para o modelo de 6-quarks a Lagrangeana é dada na Eq. (8.1.13). Por razões óbvias, só o termo \mathcal{L}_I é passível de violar CP.

Se escrevermos:

$$\mathcal{L}_I = \mathcal{L}_1 + \mathcal{L}_2 \quad (8.2.28)$$

onde

$$\mathcal{L}_1 = \frac{g}{\sqrt{2}} \left[\bar{u}_L \bar{c}_L \bar{t}_L \right] \gamma^\mu W_\mu^+ U \begin{pmatrix} q_L \\ s_L \\ b_L \end{pmatrix} + \frac{g}{\sqrt{2}} \left[\bar{d}_L \bar{s}_L \bar{b}_L \right] \gamma^\mu W_\mu^- U^+ \begin{bmatrix} \bar{u}_L \\ c_L \\ t_L \end{bmatrix} \quad (8.2.29)$$

e

$$\mathcal{L}_2 = \frac{gg'}{\sqrt{g^2+g'^2}} A_\mu \bar{q} \gamma^\mu Qq + (g^2+g'^2)^{1/2} Z_\mu \left[\bar{q}_L S_3 \gamma^\mu q_L - \text{sen}^2 \theta_W \bar{q} \gamma^\mu Qq \right] \quad (8.2.30)$$

Escrevendo-se \mathcal{L}_I explicitamente

$$\begin{aligned} \mathcal{L}_1(x) = & \\ = & \frac{g}{\sqrt{2}} \left\{ (\bar{u}_L \gamma^\mu d_L W_\mu^+ + \bar{d}_L \gamma^\mu u_L W_\mu^-) \cos \theta + \right. \\ & + (\bar{u}_L \gamma^\mu s_L W_\mu^+ + \bar{s}_L \gamma^\mu u_L W_\mu^-) \text{sen} \theta \cos \phi + \\ & + (\bar{u}_L \gamma^\mu b_L W_\mu^+ + \bar{b}_L \gamma^\mu u_L W_\mu^-) \text{sen} \theta \text{sen} \phi + \\ & \left. + (c_L \gamma^\mu d_L W_\mu^+ + \bar{d}_L \gamma^\mu c_L W_\mu^-) \text{sen} \theta \cos \psi + \right. \end{aligned}$$

$$\begin{aligned}
 & + (c_L \gamma^\mu s_L W_\mu^+ + \bar{s}_L \gamma^\mu c_L W_\mu^-) \cos\theta \cos\psi \cos\phi + \\
 & + (c_L \gamma^\mu b_L W_\mu^+ + b_L \gamma^\mu c_L W_\mu^-) \cos\theta \sin\phi \cos\psi + \\
 & + (\bar{t}_L \gamma^\mu d_L W_\mu^+ + \bar{d}_L \gamma^\mu t_L W_\mu^-) \sin\theta \sin\psi + \\
 & + (\bar{t}_L \gamma^\mu s_L W_\mu^+ + \bar{s}_L \gamma^\mu t_L W_\mu^-) \cos\theta \cos\psi \sin\phi + \\
 & + (\bar{t}_L \gamma^\mu b_L W_\mu^+ + \bar{b}_L \gamma^\mu t_L W_\mu^-) \cos\theta \sin\psi \sin\phi + \\
 & + (\bar{c}_L \gamma^\mu s_L e^{i\delta_{W_\mu^+}} + \bar{s}_L \gamma^\mu c_L e^{-i\delta_{W_\mu^-}}) \sin\psi \sin\phi + \\
 & + (\bar{c}_L \gamma^\mu b_L e^{i\delta_{W_\mu^+}} + \bar{b}_L \gamma^\mu s_L e^{-i\delta_{W_\mu^-}}) \cos\phi \sin\psi + \\
 & + (\bar{t}_L \gamma^\mu s_L e^{i\delta_{W_\mu^+}} + \bar{s}_L \gamma^\mu t_L e^{-i\delta_{W_\mu^-}}) \sin\phi \cos\psi + \\
 & + (\bar{t}_L \gamma^\mu b_L e^{i\delta_{W_\mu^+}} + \bar{b}_L \gamma^\mu t_L e^{-i\delta_{W_\mu^-}}) \cos\psi \cos\phi \left. \right\} . (8.2.31)
 \end{aligned}$$

O termo \mathcal{L}_2 não pode conter violação CP. Ele é da forma $\bar{\Psi} \gamma^\mu (1 \mp \gamma_5) \psi V_\mu$, onde $V_\mu = A_\mu$ ou Z_μ . Sob uma transformação CP $\bar{\Psi} \gamma^\mu (1 \mp \gamma_5) \psi V_\mu$ permanece inalterado. Para comprovação ver Tabela 8.3.3.

O termo \mathcal{L}_1 é o único que pode incorporar violação CP. Para verificar isto, basta observar que \mathcal{L}_1 possui um termo da forma:

$$(\bar{c}_L \gamma^\mu s_L e^{i\delta_{W_\mu^+}} + \bar{s}_L \gamma^\mu c_L e^{-i\delta_{W_\mu^-}}) \sin\psi \sin\phi .$$

O fator de fase $e^{i\delta}$ foi definido na eq. (8.1.9).

O termo acima se transforma sob uma transformação CP em:

$$(\bar{c}_L \gamma^\mu s_L e^{-i\delta} W_\mu^+ + \bar{s}_L \gamma^\mu c_L e^{i\delta} W_\mu^+) \sin\psi \sin\phi .$$

Não é possível reabsorver o termo $e^{\pm i\delta}$, pois se redefinirmos $c' = c e^{i\delta}$ o termo

$$(\bar{c}_L \gamma^\mu s_L W_\mu^+ + \bar{s}_L \gamma^\mu c_L W_\mu^-) \cos\theta \cos\psi \cos\phi$$

se transforma em

$$(\bar{c}_L \gamma^\mu s_L e^{-i\delta} W_\mu^+ + \bar{s}_L \gamma^\mu c_L e^{i\delta} W_\mu^-) \cos\theta \cos\psi \cos\phi .$$

Isto proíbe a absorção completa de $e^{\pm i\delta}$, o que acarreta violação CP.

Para comprovação ver Tabela 8.3.3, e que os bósons vectoriais W_μ^\pm se transformam conforme as fórmulas:

$$W_\mu^{\pm} \xrightarrow{\text{CP}} - W_\mu^\mp$$

$$W_\mu^0 \xrightarrow{\text{CP}} W_\mu^0$$

Tabela 8.2.1 - Spinors de Dirac - Transformações sob conjugação de carga.

| GRANDEZA | GRANDEZA TRANSFORMADA |
|---|---|
| $\psi(\vec{x}, t)$ | $\xi_c c \bar{\psi}^T$ |
| $\bar{\psi}(\vec{x}, t)$ | $\xi_c^* \psi^T c$ |
| $\bar{\psi}_1(\vec{x}, t) \psi_2(\vec{x}, t)$ | $-\xi_{c_1}^* \xi_{c_2} \left[\bar{\psi}_2(x, t) \psi_1(x, t) \right]$ |
| $\bar{\psi}_1(\vec{x}, t) \gamma_0 \psi_2(\vec{x}, t)$ | $+\xi_{c_1}^* \xi_{c_2} \left[\bar{\psi}_2(x, t) \gamma_0 \psi_1(x, t) \right]$ |
| $\bar{\psi}_1(\vec{x}, t) \vec{\gamma} \psi_2(\vec{x}, t)$ | $\xi_{c_1}^* \xi_{c_2} \left[\bar{\psi}_2(x, t) \vec{\gamma} \psi_1(x, t) \right]$ |
| $\bar{\psi}_1(\vec{x}, t) \gamma_5 \psi_2(\vec{x}, t)$ | $-\xi_{c_1}^* \xi_{c_2} \left[\bar{\psi}_2(x, t) \gamma_5 \psi_1(x, t) \right]$ |
| $\bar{\psi}_1(\vec{x}, t) \gamma_0 \gamma_5 \psi_2(\vec{x}, t)$ | $-\xi_{c_1}^* \xi_{c_2} \left[\bar{\psi}_2(x, t) \gamma_0 \gamma_5 \psi_1(x, t) \right]$ |
| $\bar{\psi}_1(\vec{x}, t) \vec{\gamma} \gamma_5 \psi_2(\vec{x}, t)$ | $-\xi_{c_1}^* \xi_{c_2} \left[\bar{\psi}_2(x, t) \vec{\gamma} \gamma_5 \psi_1(x, t) \right]$ |

Tabela 8.2.2 - Spinores de Dirac - Transformações sob inversão espacial.

| GRANDEZA | GRANDEZA TRANSFORMADA |
|---|--|
| $\psi(\vec{x}, t)$ | $\xi_p \gamma_0 \psi(-\vec{x}, t)$ |
| $\bar{\psi}(\vec{x}, t)$ | $\xi_p^* \bar{\psi}(-\vec{x}, t) \gamma_0$ |
| $\bar{\psi}_1(\vec{x}, t) \psi_2(\vec{x}, t)$ | $\xi_{p_1}^* \xi_{p_2} \bar{\psi}_1(-\vec{x}, t) \psi_2(-\vec{x}, t)$ |
| $\bar{\psi}_1(x, t) \gamma_0 \psi_2(\vec{x}, t)$ | $\xi_{p_1}^* \xi_{p_2} \bar{\psi}_1(-\vec{x}, t) \psi_2(-\vec{x}, t)$ |
| $\bar{\psi}_1(x, t) \vec{\gamma} \psi(\vec{x}, t)$ | $-\xi_{p_1}^* \xi_{p_2} \bar{\psi}(-\vec{x}, t) \vec{\gamma} \psi_2(-\vec{x}, t)$ |
| $\bar{\psi}_1(\vec{x}, t) \gamma_5 \psi(\vec{x}, t)$ | $-\xi_{p_1}^* \xi_{p_2} \bar{\psi}(-\vec{x}, t) \gamma_5 \psi_2(-\vec{x}, t)$ |
| $\bar{\psi}_2(\vec{x}, t) \gamma_0 \gamma_5 \psi_2(x, t)$ | $-\xi_{p_1}^* \xi_{p_2} \bar{\psi}(-\vec{x}, t) \gamma_0 \gamma_5 \psi_2(-\vec{x}, t)$ |
| $\psi_1(\vec{x}, t) \vec{\gamma} \gamma_5 \psi(\vec{x}, t)$ | $+\xi_{p_1}^* \xi_{p_2} \bar{\psi}(-\vec{x}, t) \vec{\gamma} \gamma_5 \psi_2(-\vec{x}, t)$ |

Tabela 8.2.3 - Spinors de Dirac - Transformações sob uma inversão CP.

| GRANDEZA | GRANDEZA TRANSFORMADA |
|---|--|
| $\psi(x, t)$ | $\xi \gamma_0 \psi^T(-\vec{x}, t)$ |
| $\bar{\psi}(x, t)$ | $\xi^* \psi^T(-\vec{x}, t) c \gamma_0$ |
| $\bar{\psi}_1(x, t) \psi_2(x, t)$ | $-\xi_1^* \xi_2 \left[\psi_2(-\vec{x}, t) \psi_1(-x, t) \right]$ |
| $\bar{\psi}_1(x, t) \gamma_0 \psi_2(x, t)$ | $-\xi_1^* \xi_2 \left[\psi_2(-x, t) \gamma_0 \psi_1(-x, t) \right]$ |
| $\bar{\psi}_1(x, t) \vec{\gamma} \psi_2(x, t)$ | $+\xi_1^* \xi_2 \left[\psi_2(-x, t) \vec{\gamma} \psi_1(-x, t) \right]$ |
| $\bar{\psi}_1(x, t) \gamma_5 \psi_2(x, t)$ | $-\xi_1^* \xi_2 \bar{\psi}_2(-x, t) \gamma_5 \psi_1(-x, t)$ |
| $\bar{\psi}_1(x, t) \gamma_5 \gamma_0 \psi_2(x, t)$ | $-\xi_1^* \xi_2 \bar{\psi}_2(-x, t) \gamma_5 \gamma_0 \psi_1(-x, t)$ |
| $\bar{\psi}_1(x, t) \gamma_5 \vec{\gamma} \psi_2(x, t)$ | $+\xi_1^* \xi_2 \bar{\psi}_2 \gamma_5 \vec{\gamma} \psi_1(-x, t)$ |

CAPÍTULO IX

O LEPTON PESADO

9.1 - *Introdução*

Em 1975/76 amplas evidências demonstraram a existência de uma nova partícula carregada, τ^\pm ou táon ^(24,25,26,27).

Atualmente se sabe que esta partícula tem uma massa cujo valor é 1782 ± 7 MeV ⁽²⁷⁾.

Os dados experimentais até agora obtidos confirmaram que o táon decai via interação fraca, não interage fortemente, mas interage eletromagneticamente e, aparentemente, tem uma estrutura puntual. Todas as evidências levam a crer que se trata de um novo lepton. Todas as possibilidades de que τ seja um hádron foram descartadas ⁽²⁷⁾.

A detecção desta partícula se deu pela primeira vez quando um grupo de físicos do SLAC ^(25,26) observou a produção apreciável dos pares $e^\pm \mu^\mp$ na colisão $e^+ e^-$:

$$e^+ + e^- \rightarrow \mu^\pm + e^\mp + \text{energia perdida} .$$

O modo mais coerente de explicar-se tal produção é supor-se que após o choque $e^+ e^-$ existe a produção do par $\tau^+ \tau^-$, onde τ^\pm é uma nova partícula de vida curta. Por sua vez τ de-

cai leptonicamente em um destes modos :

$$\tau^+ \rightarrow e^+ \nu_e \nu_\tau$$

$$\tau^- \rightarrow e^- \bar{\nu}_e \nu_\tau$$

$$\tau^+ \rightarrow \mu^+ \nu_\mu \bar{\nu}_\tau$$

$$\tau^- \rightarrow \mu^- \bar{\nu}_\mu \nu_\tau$$

Além dos pares $e^\pm \mu^\mp$, devem ser encontrados também os pares e^+e^- e $\mu^- \mu^+$. Os dados experimentais estão de acordo com as previsões teóricas para os pares e^+e^- , $\mu^- \mu^+$ e $e^\pm \mu^\mp$ (24, 25, 26, 27, 28).

Logo, a produção do par $e^- \mu^+$ seria decorrente de:

$$e^+ + e^- \rightarrow \tau^+ + \tau^-$$

e o par $e^+ \mu^-$ de:

$$e^- + e^+ \rightarrow \tau^+ + \tau^-$$

É importante salientar que, embora haja uma probabilidade muito pequena de τ não ser um lépton, τ poderá ser um novo tipo de partícula ainda desconhecido, mas nunca um hádron.

Todas as propriedades do τ até agora medidas confirmam que τ tem as mesmas propriedades de interação que e e μ .

9.2 - Natureza Leptônica da Partícula- τ

Diversos dados experimentais excluem a possibilidade de que o táon se trate de um hádron (25, 26, 27). Delas o mais convincente se encontra ao medir-se a taxa de produção de eventos $e^+\mu^+$ em função da energia do centro de massa do par e^+e^- (28).

A curva teórica da produção de hádrons após a colisão do par e^+e^- tem o seguinte comportamento: parte do zero após o limiar de energia, cresce de maneira abrupta, chega a um máximo e decai bruscamente.

A curva de produção teórica para léptons comporta-se de maneira diferente. Cresce do zero após o limiar de energia, alcança um máximo e decai suavemente se comparada à curva dos hádrons.

Os dados experimentais confirmam que τ está muito mais próximo de um lépton: a Figura 9.2.1 explica de maneira mais clara tais conclusões. A explicação do comportamento destas curvas teóricas está na existência e na não existência de estrutura interna para hádrons e léptons, respectivamente.

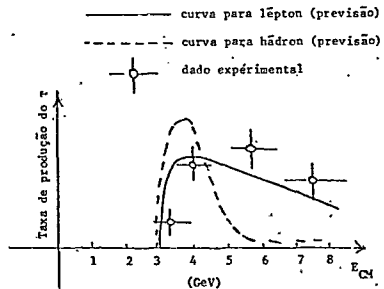


Figura 9.2.1 - Taxa de produção do par $e\mu$ em função da energia do CM do e^+e^- .

9.3 - Atribuição de um Número Leptônico para o Tãon

Do conceito de número leptônico (ver Apêndice A) , podemos atribuir um número leptônico para o lépton pesado de três maneiras diferentes e excludentes.

Definiremos as razões de ramificação eletrônica e miônica do tãon como:

$$B_e = \Gamma(\tau^- + e^- \bar{\nu}_e \nu_\tau) / \Gamma(\tau \rightarrow \text{all}) \quad (9.3.1)$$

$$B_\mu = \Gamma(\tau^- + \mu^- \bar{\nu}_\mu \nu_\tau) / \Gamma(\tau \rightarrow \text{all}) \quad (9.3.2)$$

As três hipóteses para atribuir-se um número leptônico ao tãon são:

a) - 1ª Hipótese - Lépton Excitado⁽²⁹⁾

Supõe-se que o lépton pesado tãon possui um número leptônico igual ao número leptônico de um dos dois léptons mais leves, o mion ou o elétron.

Caso $L_{\tau^-} = L_{e^-}$ a reação seguinte seria possível por que conserva o número leptônico

$$\tau^- + e^- + \gamma$$

Tal reação não é observada na natureza, eliminando-se então a hipótese de que $L_{\tau^-} = L_{e^-}$.

De modo análogo, a hipótese de que $L_{\tau^-} = L_\mu$ é também afastada.

b) - 2ª Hipótese - Paralépton ⁽²⁹⁾

Neste caso $L_\tau = -L_\ell$ onde $\ell = e$ ou μ . Quando $L_{\tau^-} = -L_{e^-}$ ocorreriam as reações

$$\tau^- + e^- \rightarrow \bar{\nu}_e \bar{\nu}_e \quad \text{onde } \nu_\tau = \bar{\nu}_e$$

$$\tau^- + \mu^- \rightarrow \bar{\nu}_\mu \bar{\nu}_e$$

Pelo princípio de exclusão de Pauli será encontrado:

$$B_e = 2 B_\mu^{(*)}$$

Experimentalmente ⁽²⁸⁾ isto não se verifica, já que $(B_\mu/B_e)_{\text{exp}} = 0.92 \pm 0.03$.

Raciocinando-se de modo análogo para $L_\tau = -L_\mu$, eliminamos em definitivo a 2ª hipótese.

c) - 3ª Hipótese - Lépton Pesado Sequencial

Da exclusão das duas hipóteses anteriores resta apenas esta hipótese, onde o lépton tãon possui seu próprio número leptônico L_τ diferente de zero, possui números eletrônicos e miônicos nulos, e decai em um lépton mais leve segundo

$$\tau^- \rightarrow \ell^- + \bar{\nu}_\ell + \nu_\tau$$

Além do mais, esta hipótese é a única que está de acordo com todos os outros dados experimentais.

(*) $B_\ell = \Gamma(\tau^- \rightarrow \ell^- + \bar{\nu}_\ell + \nu_\tau) / \Gamma(\tau^- \rightarrow \text{all})$.

9.4 - Corrente Fraca do Lépton-Pesado

Devido ao fato do lépton pesado ser do tipo sequencial, a existência do neutrino é requerida por razões de consistência teórica e de analogia com outros léptons e, μ . Experimentalmente, a massa deste neutrino deve ser menor do que 540 MeV⁽²³⁾.

No caso de τ possuir spin 1/2 a corrente fraca para o lépton pesado se escreve como⁽³⁰⁾:

$$j_{\mu} = \bar{u}_{\nu_{\tau}} \gamma_{\mu} \left[g_L (1 - \gamma_5) + g_R (1 + \gamma_5) \right] u_{\tau} \quad (9.4.1)$$

onde g_L e g_R são constantes de acoplamento e a natureza do acoplamento é do tipo $(V\mp A)$.

Para o caso onde τ possui spin 3/2, uma interação na sua forma mais simples do tipo $(V\mp A)$ pode ser escrita como

$$j^{\mu} = \bar{u}_{\nu_{\tau}} \left[g_L (1 - \gamma_5) + g_R (1 + \gamma_5) \right] u_{\tau}^{\mu} \quad (9.4.2)$$

u^{μ} é o quadrispinor de Rarita-Schwinger para o tãon.

No caso da massa do neutrino do τ ser nula ou próxima disto, duas hipóteses são possíveis, ou a corrente é do tipo V-A, ou do tipo V+A⁽²⁹⁾. Ambas ao mesmo tempo ficam excluídos. Por razões experimentais, no caso de τ com spin 1/2 o caso V-A é o único escolhido, semelhante ao caso do múon. Para isto, veja-se referência ⁽²⁹⁾, Secção 4, e ref. ⁽³¹⁾.

No nosso estudo usaremos dois tipos de corrente:

a) - Quando τ tem spin 1/2

$$j_{\mu} = \bar{u}_{\nu_{\tau}} \gamma^{\mu} (1 - \gamma_5) u_{\tau} \quad (9.4.3)$$

b) Quando τ tem spin $3/2$ ⁽³²⁾

$$j_{\mu} = \bar{u}_{\nu_{\tau}} (1 - \gamma_5) u_{\tau}^{\mu} \quad (9.4.4)$$

Ambas são do tipo V-A.

A discussão sobre o tipo de corrente para o lépton pesado pode ser encontrada em diversos artigos ^(29,30,31). Experimentalmente as correntes descritas pelas eqs. (9.4.3) e (9.4.4) são as que mais se adaptam à realidade. Em nosso trabalho, apenas correntes do tipo (V-A) serão usadas dependendo apenas da atribuição do spin do lépton τ .

Das conclusões acima podemos construir uma tabela para os valores L_{τ} , L_{μ} e L_e , onde L_{τ} , L_{μ} e L_e são, respectivamente, os números leptônicos taônico, miônico e eletrônico.

Tabela 9.4.1 - Números leptônicos dos diversos léptons.

| | L_{τ} | L_{μ} | L_e |
|------------------------------|------------|-----------|-------|
| τ^{-}, ν_{τ} | 1 | 0 | 0 |
| μ^{-}, ν_{μ} | 0 | 1 | 0 |
| e^{-}, ν_e | 0 | 0 | 1 |
| $\tau^{+}, \bar{\nu}_{\tau}$ | -1 | 0 | 0 |
| $\mu^{+}, \bar{\nu}_{\mu}$ | 0 | -1 | 0 |
| $e^{+}, \bar{\nu}_e$ | 0 | 0 | -1 |

Deve-se observar que todas as outras partículas que não são léptons têm número leptônico nulo. Além disto, os números leptônicos são conservados separadamente em todas as reações da natureza. Separadamente têm o sentido de que os números L_τ e L_e , por exemplo, são grandezas distintas que não se misturam.

CAPÍTULO X

DECAIMENTO LEPTÔNICO DO LÉPTON PESADO

O lépton pesado decai tanto num elétron quanto num múon na forma abaixo:

$$\tau^- \rightarrow \mu^- + \bar{\nu}_\mu + \nu_\tau$$

ou

$$\tau^- \rightarrow e^- + \bar{\nu}_e + \nu_\tau$$

10.1 - Decaimento Leptônico para τ com $Spin\ 3/2$

O diagrama abaixo explica o processo (Fig. 10.1.1):

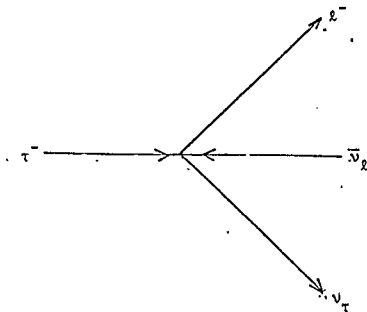


Figura 10.1.1 - Decaimento leptônico do τ .

onde $\ell^- = e^-$ ou μ^- e p_μ , q_μ' , $k_{1\mu}$ e $k_{2\mu}$ são, respectivamente, os quadrimomentos para τ^- , ν_τ , ℓ^- e $\bar{\nu}_\ell$.

O processo mais geral é dado pela reação

$$\tau^- + \ell^- + \bar{\nu}_\ell + \nu_\tau \quad (10.1.1)$$

A matriz de transição é dada pela equação:

$$\mu = \frac{G}{\sqrt{2}} \left[\bar{u}(k_1) \gamma^\mu (1 - \gamma_5) v(k_2) u(q') (1 + \gamma_5) u_\mu(p) \right] \quad (10.1.2)$$

A taxa diferencial de transição é dada por:

$$d^3\Gamma = \frac{1}{128\pi^5} m_{\nu_\tau} m_{\bar{\nu}_\ell} m_\ell - \frac{d^3\vec{k}}{k_1^0} \left(\frac{d^3\vec{k}_2}{k_2^0} \frac{d^3\vec{q}'}{q'^0} \delta(q - k_2 - q') |\mu|^2 \right) \quad (10.1.3)$$

onde:

$$q = p - k_1 = k_2 - q' \quad (10.1.4)$$

Integrando-se a expressão (10.1.4) obtemos:

$$\frac{d\Gamma}{d|\vec{k}_1|} = \frac{G_F^2}{144\pi^3} \frac{|\vec{k}_1|^2}{k_1^0} \left\{ 3k_1^0 (M^2 + m_1^2 - 2k_1^0 M) + 2(k_1^0 M - m_\ell^2) (M - k_1^0) + 4k_1^0 (M - k_1^0)^2 \right\} \quad (10.1.5)$$

onde,

$$(k_1^0)^2 = \vec{k}_1^2 + m_\ell^2$$

Por outro lado, considerando-se que $m_{\nu_\tau} = m_{\bar{\nu}_\ell} = 0$, $m_\ell \leq k_1^0 \leq M/2$ e $x_\ell = m_\ell/M$, obtemos:

$$\Gamma(\tau^- + \nu_\tau + \bar{\nu}_\ell + \ell^-) = \frac{G_F^2 M^5}{960\pi^3} \left[1 - \frac{5}{9} x_\ell^2 - \frac{5}{18} x_\ell^4 - 20x_\ell^4 \lg \frac{3}{2} x_\ell \right] \quad (10.1.6)$$

10.2 - *Decaimento Leptônico para τ com Spin 1/2*

Empregando-se a Fig. 10.1.1 e a Eq. (10.1.5), encontramos a matriz de transição do processo:

$$\mu = \frac{G_F}{\sqrt{2}} \bar{u}(k_1) \gamma^\mu (1-\gamma_5) v(k_2) \bar{u}(q') \gamma_\mu (1-\gamma_5) u(p) \quad (10.2.7)$$

Com os mesmos argumentos da Seção anterior encontramos,

$$\frac{d\Gamma}{d|\vec{k}_1|} = \frac{G_F^2}{24\pi^3} \frac{|\vec{k}_1|^2}{M k_1^0} \left\{ 7q^2 k_1 \cdot p + 2(k_1 \cdot q)(p \cdot q) \right\} \quad (10.2.8)$$

No centro de massa da partícula τ encontramos:

$$q^\mu = p^\mu - k_1^\mu \quad (10.2.9)$$

$$q^2 = M^2 + m_\rho^2 - 2Mk_1^0 \quad (10.2.10)$$

$$k_1 p = Mk_1^0 \quad (10.2.11)$$

$$k_1 q = Mk_1^0 - m_\rho^2 \quad (10.2.12)$$

$$p \cdot q = M(M - k_1^0) \quad (10.2.13)$$

Donde encontramos:

$$\Gamma(\tau^- \rightarrow \nu_\tau \ell^-) = \frac{G^2 M^5}{192\pi^3} \left[1 - 8x_\ell + 8x_\ell^3 - x_\ell^4 - 12x_\ell^2 \ln x_\ell \right] \quad (10.2.14)$$

$$\text{onde } x_\ell = \frac{m_\ell^2}{M^2} .$$

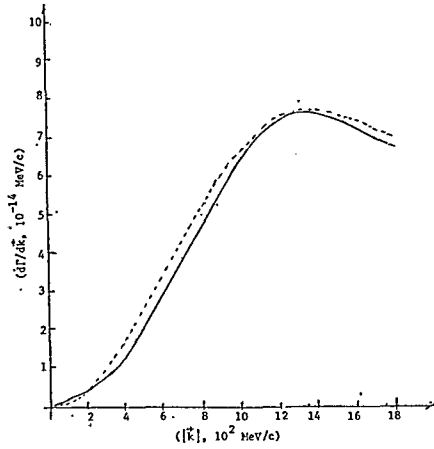


Figura 10.2.1 - Gráfico $(d\Gamma/d\vec{k}_1) \times |\vec{k}_1|$ no CM de τ com spin-1/2 (----- curva do e; ——— curva do μ).

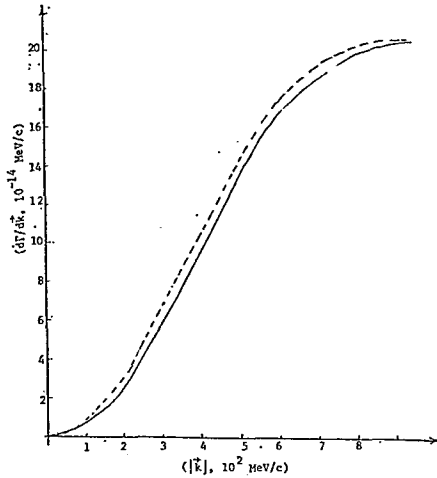


Figura 10.2.2 - Gráfico $(d\Gamma/d\vec{k}_1) \times |\vec{k}_1|$ no CM de τ com spin-3/2 (----- curva do e; ——— curva μ).

CAPÍTULO XI

DECAIMENTO HADRÔNICO DO LÉPTON τ

11.1 - Decaimento Hadrônico do Lépton τ com Spin 1/2

O lépton pesado τ pode decair em um neutrino e em várias outras partículas todas elas hádrons (34).

$$\tau^- \rightarrow \bar{\nu}_\tau + \text{hádrons} \quad (11.1.1)$$

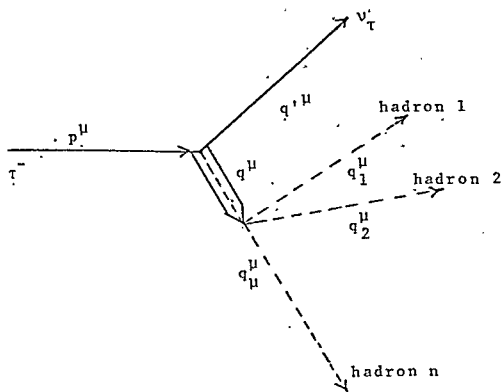


Figura 11.1.1-Decaimento hadrônico do lépton τ .

p^μ quadrimomentum do τ^- ; q'^μ quadrimomentum do $\bar{\nu}_\tau$; q^μ quadrimomentum total de todos os hádrons; q_i^μ quadrimomentum do i -ésimo hádron.

Para o nosso caso, todos os hádrons serão bósons.

Inicialmente se supõe que τ^- possui spin 1/2. A matriz de transição é escrita como:

$$u = \frac{G_F}{\sqrt{2}} \bar{u}(q') (1 \pm \gamma_5) \gamma^\mu u(p) \langle + | j_\mu^\dagger(0) | 0 \rangle \quad (11.1.2a)$$

$$u^\dagger = \frac{G_F}{2} \bar{u}(p) \gamma^\mu (1 \mp \gamma_5) u(q') \langle 0 | j_\mu(0) | f \rangle \quad (11.1.2b)$$

onde:

- $u(p)$ - spinor de Dirac correspondente ao lépton τ ;
- $u(q')$ - spinor de Dirac correspondente ao neutrino ν_τ ;
- $j_\mu^\dagger(0)$ - operador de corrente fraca dos hádrons ;
- $|0\rangle$ - estado de vácuo ;
- $|f\rangle$ - estado final dos hádrons após o decaimento.

A taxa de transição do processo da Fig. 11.1.1 é dada por^(*):

$$\Gamma(\tau^- \rightarrow \nu_\tau + \text{hadrons}) = \frac{1}{2s+1} \sum_+ \int d\Gamma(\tau^- \rightarrow \nu_\tau + \text{hadrons}), \quad (11.1.3)$$

onde:

s spin do lépton τ^- ;

$\frac{1}{2s+1}$ devido à média dos estados iniciais de polarização do lépton τ^- ;

\sum_+ representa somar sobre todos os estados de polarização das partículas encontradas no estado inicial;

$d\Gamma$ taxa de transição diferencial de um decaimento.

A taxa de transição diferencial de um decaimento de uma partícula de massa M em $n+1$ partículas, sendo uma delas férmion e as outras n bósons é dada pela expressão:

(*) Ver Referência (33), Apêndice B.

$$d\Gamma = m_\nu \frac{d^3q'}{E'(2\pi)^3} \frac{d^3q_1}{2\omega_f(2\pi)^3} \cdots \frac{d^3q_n}{2\omega_n(2\pi)^3} (2\pi)^4 \delta(p-q' - \sum_{i=1}^n q_i) |M|^2 \quad (11.1.4)$$

onde:

- m_ν massa do fêrmion produzido;
- m_i massa do i-ésimo bôson produzido entre n-bôsons;
- E' energia do fêrmion produzido;
- ω_i energia do i-ésimo bôson produzido;
- q_i^μ quadrimomento do i-ésimo bôson;
- q^μ quadrimomento do fêrmion;
- $q^\mu = \sum_{i=1}^n q_i^\mu$.

Somando-se sobre os spins do τ obtêm-se:

$$\sum_{\text{spins}} |\mu|^2 = \frac{G_F^2}{m_\nu M} \left[q^\mu p^\nu + q^\nu p^\mu - g^{\mu\nu} q^\rho \cdot p \pm i t^{\mu\nu\lambda\rho} q'_\lambda p_\rho \right] \times$$

$$\times \langle 0 | j_\mu(0) | + \rangle \langle f | j_\nu^\dagger(0) | 0 \rangle \quad (11.1.5)$$

donde:

$$\Gamma(\tau^- \rightarrow \nu_\tau + \text{hadrons}) = \frac{G_F^2}{4M} \int \frac{dq'}{E'(2\pi)^3} (q^\mu p^\nu + q^\nu p^\mu -$$

$$- g^{\mu\nu} q^\rho \cdot p \pm i t^{\mu\nu\lambda\rho} q'_\lambda p_\rho) (2\pi)^4 \sum_{\substack{\text{spins} \\ \text{dos bôsons}}} \left\{ \frac{d^3q_1}{2\omega_1} \cdots \frac{d^3q_n}{2\omega_n} \right.$$

$$\left. \langle 0 | j_\mu^\dagger(0) | f \rangle \langle f | j_\nu(0) | 0 \rangle \delta(p-q' - \sum_i q_i) \right. \quad (11.1.6)$$

11.2 - Elemento de Matriz da Corrente Fraca j_μ

Quando existe apenas um hádrón no decaimento a corrente hadrônica de Cabibbo para interações fracas é descrita como (34) :

$$\begin{aligned}
 j_\mu(0) &= \left[(V_{1\mu}(0) + iV_{2\mu}(0)) - (A_{1\mu}^{(0)} + iA_{2\mu}(0)) \right] \cos\theta_c + \\
 &+ \left[(V_{4\mu}(0) + iV_{5\mu}(0)) - (A_{4\mu}^{(0)} + iA_{5\mu}(0)) \right] \text{sen}\theta_c = \\
 &= j_\mu^{\Delta S=0} \cos\theta_c + j_\mu^{|\Delta S|=1} \text{sen}\theta_c \quad (11.2.7)
 \end{aligned}$$

onde θ_c é o ângulo de Cabibbo .

O coeficiente de $\cos\theta_c$ descreve processos onde a estranheza se conserva. O coeficiente de $\text{sen}\theta_c$ descreve processos com mudança de estranheza. Em ambos os casos as correntes são carregadas.

Os \vec{V}_a formam a parte puramente vetorial da corrente . Os \vec{A}_a formam a parte puramente axial da corrente. Os índices $a = 1, 2, 3, \dots, 8$ são índices do grupo SU(3) .

Em processos onde há conservação de estranheza:

$$\langle 0 | j_\mu(0) | f \rangle = \langle 0 | j_\mu^{\Delta S=0}(0) | f \rangle \cos\theta_c \quad (11.2.8)$$

ou

$$\langle 0 | j_\mu^{|\Delta S|=1} | f \rangle = 0 \quad (11.2.9)$$

Quando $|f\rangle$ descreve o estado final de uma partícula de spin-1, polarização ϵ_μ e quadrimomentum q_μ , então, devido à

invariância sob uma transformação de Lorentz, o único modo como a matriz $\langle 0 | j_{\mu}^{\Delta S=0} | f \rangle$ pode ser descrita e se encontra na expressão abaixo:

$$\langle 0 | j_{\mu}^{\Delta S=0} (0) | f \rangle = f(q^2) \epsilon_{\mu} \quad (11.2.10)$$

onde $f(q^2)$ é uma função que depende apenas do único quadrivetor de momentum disponível.

Definimos assim as constantes f_{ρ} , $f_{\rho'}$, $f_{\rho''}$, f_{A_1} :

$$\langle 0 | j_{\mu}^{\Delta S=0} (0) | \rho, q_{\mu}, \epsilon_{\mu} \rangle = f_{\rho} \epsilon_{\mu} (q) \quad (11.2.11a)$$

$$\langle 0 | j_{\mu}^{\Delta S=0} (0) | \rho', q_{\mu}, \epsilon_{\mu} \rangle = f_{\rho'} \epsilon_{\mu} (q) \quad (11.2.11b)$$

$$\langle 0 | j_{\mu}^{\Delta S=0} (0) | \rho'', q_{\mu}, \epsilon_{\mu} \rangle = f_{\rho''} \epsilon_{\mu} (q) \quad (11.2.11c)$$

$$\langle 0 | j_{\mu}^{\Delta S=0} (0) | A_1^-, q_{\mu}, \epsilon_{\mu} \rangle = f_{A_1} \epsilon_{\mu} (q) \quad (11.2.11d)$$

Sabendo-se sobre os estados de polarização:

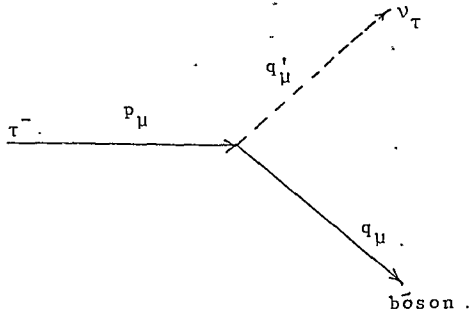
$$\sum_{\text{polarização}} \epsilon_{\mu}(q') \epsilon_{\nu}(q) = \frac{q_{\mu} q_{\nu}}{q^2} - g^{\mu\nu} \quad (11.2.12)$$

chega-se a

$$\sum_{\text{polarização}} \langle 0 | j_{\mu} (0) | f \rangle \langle f | j_{\nu}^{\dagger} (0) | 0 \rangle = f_{\rho}^2 \left(\frac{q_{\mu} q_{\nu}}{q^2} - g_{\mu\nu} \right) \cos^2 \theta_c \quad (11.2.13)$$

Nota - Para cálculos $f_{\rho} \approx f_{\rho'}$, $\approx f_{\rho''} \approx f_{A_1}$.

11.3 - *Decaimento do Lépton- τ com Spin-1/2 em um Único Bóson Vetorial*



Uma taxa de transição para o decaimento, descrito pelo diagrama acima, pode ser facilmente obtido se forem empregadas as Eqs. (11.1.6), (11.2.13) e uma das Eqs. (11.2.11).

Encontra-se então:

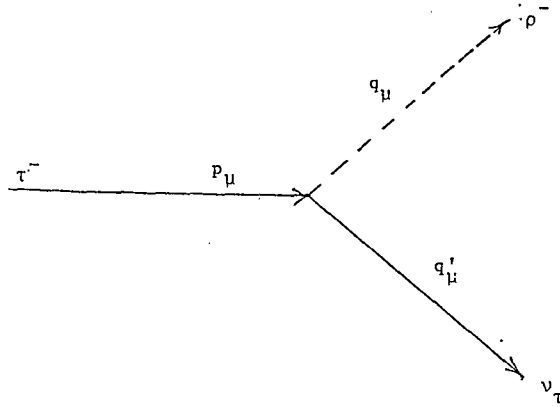
$$\Gamma(\tau^- \rightarrow \nu_\tau A_1^-) = \frac{G_F^2 \cos^2 \theta_c f_{A_1}^2}{16\pi} \frac{M^3}{m_{A_1}^2} \left(1 - \frac{m_{A_1}^2}{M^2}\right)^2 \left(1 + \frac{2m_{A_1}^2}{M^2}\right) \quad (11.3.14)$$

$$\Gamma(\tau^- \rightarrow \nu_\tau \rho) = \frac{G_F^2 \cos^2 \theta_c f_\rho^2}{16\pi} \frac{M^3}{m_\rho^2} \left(1 - \frac{m_\rho^2}{M^2}\right)^2 \left(1 + \frac{2m_\rho^2}{M^2}\right) \quad (11.3.15)$$

$$\Gamma(\tau^- \rightarrow \nu_\tau \rho') = \frac{G_F^2 \cos^2 \theta_c f_{\rho'}^2}{16\pi} \frac{M^3}{m_{\rho'}^2} \left(1 - \frac{m_{\rho'}^2}{M^2}\right)^2 \left(1 + \frac{2m_{\rho'}^2}{M^2}\right) \quad (11.3.16)$$

$$\Gamma(\tau^- \rightarrow \nu_\tau \rho'') = \frac{G_F^2 \cos^2 \theta_c f_{\rho''}^2}{16\pi} \frac{M^3}{m_{\rho''}^2} \left(1 - \frac{m_{\rho''}^2}{M^2}\right)^2 \left(1 + \frac{2m_{\rho''}^2}{M^2}\right) \quad (11.3.17)$$

11.4 - Decaimento $\tau^- \rightarrow \nu_\tau \rho^-$ - Caso Spin-3/2 para o Lépton- τ



A matriz de transição do processo acima pode ser escrita na forma V-A mais simples como:

$$M = \frac{G_F^2}{\sqrt{2}} \bar{u}(q') (1 - \gamma_5) u^\mu(p) \langle f | j_\mu^\dagger(0) | 0 \rangle \quad (11.4.18a)$$

$$M^\dagger = \frac{G_F^2}{\sqrt{2}} \bar{u}^\mu(p) (1 + \gamma_5) u(q') \langle 0 | j_\mu(0) | f \rangle \quad (11.4.18b)$$

$u^\mu(p)$ é o spinor-vetor de Rarita-Schwinger do lépton pesado τ com spin 3/2.

Então:

$$|M|^2 = \frac{2}{3} G_F^2 \left(\frac{p^\mu p^\nu}{p^2} - g^{\mu\nu} \right) (q' \cdot p) \langle 0 | j_\nu(0) | f \rangle \langle f | j_\mu^\dagger(0) | 0 \rangle \quad (11.4.19)$$

Utilizando-se a forma geral Eq. (11.1.3) encontramos:

$$\Gamma(\tau^- \rightarrow \nu_\tau \rho^-) = \frac{G_F^2}{96\pi^2} \left\{ \frac{d^3 q'}{E'} \left(\frac{p^\mu p^\nu}{M^2} - g^{\mu\nu} \right) (q' \cdot p) \sum_{\text{spin } \rho} \right\} \frac{dq}{E} \cdot$$

$$\cdot \langle 0 | j_\nu(0) | \uparrow \rangle \langle + | j_\mu^\dagger(0) | 0 \rangle \delta(p-q-q') \quad (11.4.20)$$

Utilizando-se os mesmos argumentos empregados no caso spin 1/2 encontramos:

$$\Gamma(\tau^- + \nu_\tau \rho) = \frac{G_F^2 \cos^2 \theta_c f_\rho^2}{192\pi} \frac{M^3}{m_\rho^2} \left(1 - \frac{m_\rho^2}{M^2}\right)^2 \cdot \left(1 + \frac{10m_\rho^2}{M^2} + \frac{m_\rho^4}{M^2}\right) \quad (11.4.21)$$

Também serão encontrados

$$\Gamma(\tau^- + \nu_\tau \rho') = \frac{G_F^2 \cos^2 \theta_c f_{\rho'}^2}{192\pi} \frac{M^3}{m_{\rho'}^2} \left(1 - \frac{10m_{\rho'}^2}{M^2}\right)^2 \cdot \left(1 + \frac{10m_{\rho'}^2}{M^2} + \frac{m_{\rho'}^4}{M^2}\right)^2 \quad (11.4.22)$$

$$\Gamma(\tau^- + \nu_\tau \rho'') = \frac{G_F^2 f_{\rho''}^2 \cos^2 \theta_c}{192\pi} \frac{M^3}{m_{\rho''}^2} \left(1 - \frac{10m_{\rho''}^2}{M^2}\right)^2 \left(1 + \frac{10m_{\rho''}^2}{M^2} + \frac{m_{\rho''}^4}{M^4}\right) \quad (11.4.23)$$

$$\Gamma(\tau^- + \nu_\tau A_1^-) = \frac{G_F^2 f_{A_1}^2 \cos^2 \theta_c}{192\pi} \frac{M^3}{m_{A_1}^2} \left(1 - \frac{10m_{A_1}^2}{M^2}\right) \left(1 + \frac{10m_{A_1}^2}{M^2} + \frac{m_{A_1}^4}{M^4}\right)^2 \quad (11.4.24)$$

11.5 - *Decaimento* $\tau^- + A_2^- \nu_\tau$

Caso o tãon possua spin 3/2, é possível que ele decaia

em um méson A_2^- de spin-2 e um neutrino.

A matriz de transição para este decaimento é descrita pela expressão:

$$M = \frac{G_F}{\sqrt{2}} f_{A_2} \cos\theta_c \bar{u}(q') (1 + \gamma_5) u^\mu(p) h_{\mu\nu}(q) \quad , \quad (11.5.25)$$

onde:

$h_{\mu\nu}(q)$ é o tensor de polarização de uma partícula de spin 2 e quadrimomenta q ;

f_{A_2} é o fator de forma fraco para a partícula A_2^- .

Os outros termos se acham descritos em secções anteriores.

Encontra-se

$$|M|^2 = \frac{G_F^2 f_{A_2}^2 \cos^2\theta_c}{2} \text{Tr} \left[q' \gamma^\mu \Lambda^{\mu\sigma} \gamma^\rho \right] h_{\mu\nu} h_{\sigma\rho} \quad (11.5.26)$$

onde $\Lambda^{\mu\sigma}$, o projetor para spin 3/2, é dado por:

$$\Lambda^{\mu\sigma} = -\frac{p+M}{2M} \left[g^{\mu\sigma} - \frac{1}{3} \gamma^\mu \gamma^\sigma - \frac{2}{3} \frac{p^\mu p^\sigma}{M^2} + \frac{1}{3M} (p^\mu \gamma^\sigma - p^\sigma \gamma^\mu) \right] \quad (11.5.27)$$

Encontra-se que:

$$\sum_{\text{estados finais de spin}} |M|^2 = \frac{G_F^2 f_{A_2}^2 \cos^2\theta_c}{M m \nu_\tau} \left[\frac{13}{9} p \cdot q' + \frac{22}{9} \frac{(p \cdot q)(q \cdot q')}{m^2} + \frac{2}{9} \frac{(p \cdot q)^2 (p \cdot q')}{m^2 M^2} + \frac{8}{9} \frac{(p \cdot q)^3 (q \cdot q')}{m^4 M^2} \right] \quad (11.5.28)$$

Aplicando-se a expressão (11.1.3) chega-se a

$$\Gamma(\tau^- \rightarrow A_2 \nu_\tau) = \frac{G_F^2 \cos^2 \theta_c f_{A_2}^2}{72 \pi} \frac{|\vec{q}|}{M^2} \left\{ 13 p \cdot q' + \right. \\ \left. + \frac{22(p \cdot q)(q \cdot q')}{m^2} + \frac{2(p \cdot q)^2(p \cdot q')}{m^2 M^2} + \frac{8(p \cdot q)^3 q \cdot q'}{m^4 M^2} \right\} \quad (11.5.29)$$

Nota:

$$\sum_{\substack{\text{polarização} \\ \text{dos estados} \\ \text{finais}}} h_{\mu\nu}(q) h_{\sigma\rho}(q) = \frac{1}{2} \left[p_{\mu\rho}(q) p_{\nu\sigma}(q) + \right. \\ \left. + p_{\mu\sigma}(q) p_{\nu\rho}(q) \right] - \frac{1}{3} p_{\mu\nu}(q) p_{\sigma\rho}(q) \quad (11.5.30)$$

$$p_{\mu\nu}(q) = g_{\mu\nu} - \frac{q_\mu q_\nu}{m_{A_2}^2} \quad (11.5.31)$$

$$\text{Tr} \left[u(q') \bar{u}(q') \gamma^\mu (1 - \gamma_5) u^\mu(p) \bar{u}^\sigma(p) \gamma^\rho (1 + \gamma_5) \right] = \\ = (q' \cdot \nu p^\rho + q' \cdot \rho p \cdot \nu - g^{\nu\rho} p \cdot q') (g^{\mu\sigma} - \frac{2}{3} \frac{p^\mu p^\sigma}{M^2}) \quad (11.5.32)$$

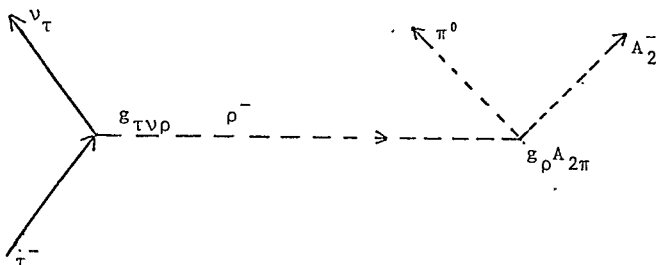
...

11.6 - *Decaimento* $\tau^- \rightarrow \nu_\tau \pi^- A_2^-$ *para* τ^- *com* *Spin*-1/2

O decaimento $\tau^- \rightarrow \nu_\tau A_2^-$ é proibido pela conservação do momento angular total. É possível no entanto, um decaimento em três corpos na forma:

$$\tau^- \rightarrow \nu_\tau + \pi^0 + A_2^- \quad (11.6.33)$$

A taxa de transição deste processo pode ser calculada através do modelo da dominação- ρ (diagrama abaixo):



São atribuídos os quadrimomentos p_μ , q'_μ , q_μ , k_1^μ e k_2^μ às partículas τ , ν_τ , ρ , π e A_2 , respectivamente.

A matriz de transição, aplicando-se as regras dos Diagramas de Feynman, é descrita pela expressão:

$$M = g_{\tau\rho\nu} \bar{u}(q') (1 \pm \gamma_5) \gamma^\mu u(p) \left[-i \frac{g_{\mu\nu} - \frac{q_\mu q_\nu}{m^2}}{(q^2 - m^2) + i\epsilon} \right] \cdot \left[\frac{g_{A_2\rho\pi}}{m_{A_2}} \epsilon_{\sigma\nu\alpha\beta} k_1^\alpha q^\beta h_{\sigma\rho}(k_2) k_1^\rho \right] \quad (11.6.34)$$

$h_{\sigma\rho}(k_2)$ é o tensor-polarização da partícula A_2 .

Da expressão acima se encontra:

$$\sum_{\text{estados finais de polarização}} |M|^2 = \frac{g_{\tau\rho\nu}^2 g_{A_2\rho\pi}^2}{m_{A_2}^2} \cdot \frac{1}{q^2 - m^2} \cdot \frac{2}{m_\nu M} \left[q^\mu p^\nu + q'^\nu p^\mu - \right]$$

$$-g^{\mu\nu} q'_\mu \cdot p'_\nu + i \epsilon^{\lambda\mu\rho\nu} q'_\lambda p'_\rho \left] \cdot \epsilon_{\sigma\mu\alpha\beta} \epsilon_{\sigma'\nu\alpha'\beta'} \cdot k_1^{\alpha} k_2^{\beta} k_{1\rho} k_1^{\alpha'} k_2^{\beta'} k_{1\rho} T^{\sigma\rho; \sigma'\rho'} \quad (11.6.35)$$

O tensor T é definido por:

$$\int_{\text{polarização}} h_{\mu\nu}(q) h_{\sigma\rho}(q) = T_{\mu\nu; \sigma\rho} = \frac{1}{2} (P_{\mu\sigma} P_{\nu\rho} + P_{\mu\rho} P_{\nu\sigma}) - \frac{1}{3} P_{\mu\nu} P_{\sigma\rho} \quad (11.6.36)$$

onde

$$P_{\mu\nu}(q) = g_{\mu\nu} - \frac{q_\mu q_\nu}{q^2} = g_{\mu\nu} - \frac{q_\mu q_\nu}{m_{A_2}^2} \quad (11.6.37)$$

Na expressão acima o único termo de $T^{\sigma\rho; \sigma'\rho'}$ que contribui no resultado final é $\frac{1}{2} g^{\sigma\sigma'} p^{\rho\rho'}$.

Então para efeito de operação:

$$T^{\sigma\rho; \sigma'\rho'} = \frac{1}{2} g^{\sigma\sigma'} p^{\rho\rho'} \quad (11.6.38)$$

Desenvolvendo-se:

$$\begin{aligned} \epsilon_{\sigma\mu\alpha\beta} \epsilon_{\sigma'\nu\alpha'\beta'} \cdot k_1^{\alpha} k_2^{\beta} k_{1\rho} k_1^{\alpha'} k_2^{\beta'} k_{1\rho} T^{\sigma\rho; \sigma'\rho'} &= \\ = \frac{1}{2} g_{\nu\lambda} \epsilon_{\sigma\mu\alpha} \epsilon^{\sigma\lambda\alpha'\beta'} k_1^{\alpha} k_2^{\beta} k_{1\rho} k_{1\alpha} k_{2\beta} k_{1\rho} p^{\rho\rho'} &= \\ = \frac{1}{2} \left[g_{\mu\nu} \delta_{\alpha}^{\alpha'} \delta_{\beta}^{\beta'} + g_{\beta\nu} \delta_{\alpha}^{\mu} \delta_{\alpha}^{\beta'} + g_{\alpha\nu} \delta_{\mu}^{\beta} \delta_{\beta}^{\alpha'} - \right. \\ \left. - g_{\mu\nu} \delta_{\alpha}^{\beta'} \delta_{\beta}^{\alpha'} - g_{\beta\nu} \delta_{\alpha}^{\alpha'} \delta_{\mu}^{\beta'} - g_{\alpha\nu} \delta_{\mu}^{\alpha'} \delta_{\beta}^{\beta'} \right] & \cdot \end{aligned}$$

$$\begin{aligned}
 & \cdot k_1^\alpha k_2^\beta k_{1\alpha} k_{2\beta}, \left(k_1^2 - \frac{(k_1 \cdot k_2)^2}{m_{A_2}^2} \right) = \\
 & = \frac{1}{2} \left[g_{\mu\nu} m_{A_2}^2 m_\pi^2 + k_1 k_2 (k_{1\mu} k_{2\nu} + k_{1\nu} k_{2\mu} - \right. \\
 & \quad \left. - g_{\mu\nu} (k_1 \cdot k_2)) - m_\pi^2 k_{2\mu} k_{2\nu} m_{A_2}^2 k_{1\mu} k_{1\nu} \right] \cdot \left[k_1^2 - \frac{k_1 \cdot k_2}{m_{A_2}^2} \right] \\
 & \hspace{20em} (11.6.39)
 \end{aligned}$$

Disto se encontra o valor de $|M|^2$:

$$\begin{aligned}
 |M|^2 = & \frac{g_{\tau\rho\nu}^2 g_{A_2\rho\pi}^2}{m_{A_2}^4} \cdot \frac{1}{q^2 - m^2} \cdot \frac{2}{M} \left\{ (k_1 \cdot k_2) \cdot \left[(k_1 \cdot q') (k_2 \cdot p) + \right. \right. \\
 & \quad \left. \left. + (k_1 \cdot p) (k_2 \cdot q') \right] - m_\pi^2 \left[(k_2 \cdot q') (k_2 p) \right] - \right. \\
 & \quad \left. - m_{A_2}^2 \left[(k_1 \cdot q') (k_1 \cdot p) \right] \right\} (m_{A_2}^2 m_\pi^2 - (k_1 \cdot k_2)^2) \quad (11.6.40)
 \end{aligned}$$

Finalmente se pode encontrar a expressão completa para a taxa de decaimento:

$$\begin{aligned}
 \Gamma(\tau^- \rightarrow \nu_\tau \pi^0 A_2^-) = & \frac{g_{\rho\nu\pi}^2 g_{A_2\rho\pi}^2}{384\pi^4 M m_{A_2}^2} \left\{ \frac{dq'}{E'} \frac{\omega}{q^4} \cdot \right. \\
 & \cdot \left\{ 2m_\pi^2 \frac{(p \cdot q') (q \cdot q')}{q^2} \left[(q^2 + m_{A_2}^2 - m_\pi^2)^2 - q^2 m_{A_2}^2 \right] - \frac{p \cdot q'}{4} \omega^2 \right\}
 \end{aligned}$$

$$\begin{aligned}
 & + 2m_{A_2}^2 \left(\frac{p \cdot q}{q^2} \frac{p \cdot q'}{q^2} \left[(q^2 + m_\pi^2 - m_{A_2}^2) - q^2 m_\pi^2 \right] - \frac{p \cdot q'}{4} \omega^2 \right) \\
 & - k_1 \cdot k_2 \left(\frac{p \cdot q'}{2} \omega^2 + \frac{p \cdot q}{q^2} \frac{q \cdot q'}{q^2} \left[q^4 + q^2 (m_\pi^2 + m_{A_2}^2) - \right. \right. \\
 & \left. \left. - 2(m_\pi^2 - m_{A_2}^2)^2 \right) \right\} \left[\frac{m_{A_2}^2 m_\pi^2 - (k_1 \cdot k_2)^2}{q^2 - m_\rho^2} \right] \quad (11.6.41)
 \end{aligned}$$

onde foram empregadas as seguintes expressões:

$$p_\mu - q'_\mu = k_{1\mu} + k_{2\mu} = q_\mu \quad (11.6.42)$$

$$\omega = \omega(q^2, m_{A_2}^2, m_\pi^2) \cdot \left[(q^2 + m_{A_2}^2 + m_\pi^2)^2 - 2(q^2 m_{A_2}^2 + q^2 m_\pi^2 + m_{A_2}^2 m_\pi^2) \right] \quad (11.6.43)$$

Se empregarmos as expressões:

$$k_1 \cdot k_2 = \frac{q^2 - m_{A_2}^2 - m_\pi^2}{2} \quad (11.6.44)$$

$$p \cdot q' = \frac{M^2 - q^2}{2} \quad (11.6.45)$$

$$q \cdot q' = \frac{M^2 - q^2}{2} \quad (11.6.46)$$

$$p \cdot q = \frac{M^2 + q^2}{2} \quad (11.6.47)$$

e

$$\int \frac{dq'}{E'} f(q^2) = \frac{\pi}{2} \int_{(m_\pi + m_{A_2})^2}^{M^2} dq^2 \frac{M^2 - q^2}{M^2} f(q^2) \quad (11.6.48)$$

encontraremos:

$$\Gamma(\tau^- \rightarrow \nu_\tau \pi^0 A_2^-) = \frac{g_{\rho\nu\pi}^2 g_{A_2\rho\pi}^2}{384 M m_{A_2}^2} \int_{(m_\pi + m_{A_2})^2}^{M^2} dq^2 \frac{M^2 - q^2}{M^2} f(q^2)$$

onde

$$\begin{aligned} f(q^2) = & \frac{\omega}{q} \left\{ 2m_\pi^2 \left[\frac{p \cdot q'}{q^2} \frac{q \cdot q'}{q^2} ((q^2 + m_{A_2}^2 - m_\pi^2)^2 - q^2 m_{A_2}^2) - \frac{p \cdot q' \omega^2}{4} \right] \right. \\ & + 2m_{A_2}^2 \left[\frac{p \cdot q'}{q^2} \frac{q \cdot q'}{q^2} ((q^2 + m_\pi^2 - m_{A_2}^2)^2 - q^2 m_\pi^2) - \frac{p \cdot q' \omega^2}{4} \right] \\ & - k_1 \cdot k_2 \left[\frac{p \cdot q'}{q^2} \omega^2 + \frac{p \cdot q'}{q^2} \frac{q \cdot q'}{q^2} (q^4 + q^2 (m_\pi^2 + m_{A_2}^2)) - \right. \\ & \left. \left. - 2 (m_\pi^2 - m_{A_2}^2)^2 \right] \right\} \left(\frac{m_{A_2}^2 m_\pi^2 - k_1 \cdot k_2}{q^2 - m^2} \right) \end{aligned} \quad (11.6.49)$$

Através de cálculos numéricos encontramos:

$$\Gamma(\tau^- \rightarrow \nu_\tau \pi^0 A_2^-) = 6.455 \times 10^{-11} \quad (11.6.50)$$

CAPÍTULO XII

DECAIMENTO BARIÔNICO DO LÉPTON- τ (*)

12.1 - Possibilidade de um Decaimento Bariônico do Lépton- τ

O lépton pesado- τ pode decair em dois núcleons (35), caso possua uma massa acima de 1876.9 MeV, segundo a reação abaixo:

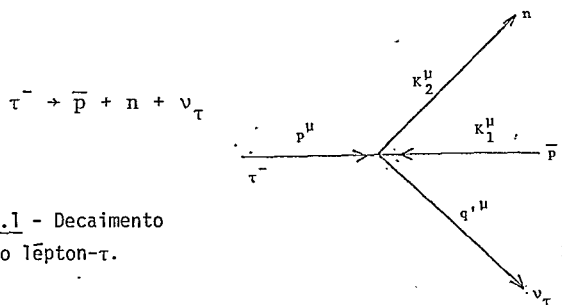


Figura 12.1.1 - Decaimento bariônico do lépton- τ .

12.2 - Lépton- τ com Spin-3/2

A matriz de transição que descreve o processo da Fig.

12.1.1 é escrita como:

$$M = \frac{G_F}{\sqrt{2}} \bar{u}(q') (1 - \gamma_5) u^\mu(p) \langle k_1, k_2 | j_\mu^\dagger(0) | 0 \rangle \quad (12.2.1)$$

onde $j_\mu^\dagger(0)$ é o operador de corrente fraca e $u^\mu(p)$ é o quadri -

(*) Os dados, à época em que foi escrito este capítulo, possibilitavam os decaimentos bariônicos, porém o valor atual da massa do $\tau = 1782 \pm 7 \text{ MeV}$ (ref. (27)), proíbe tal decaimento.

-spinor de Rarita-Schuringer.

Escreve-se:

$$\begin{aligned}
 M_h &= \langle k_1 k_2 | j_\mu^\dagger(0) | 0 \rangle = \\
 &= \bar{u}(k_2) \left[\gamma^\mu F_1(q^2) + i \sigma_{\mu\nu} q^\nu \frac{F_2(q^2)}{2m} + \gamma_\mu \gamma_5 G_1(q^2) q_\mu \gamma_5 \frac{G_2(q^2)}{2m} \right] U(k_1)
 \end{aligned} \tag{12.2.2}$$

Foram definidos:

$$q^\mu = k_1^\mu + k_2^\mu = p^\mu - q'^\mu \tag{12.2.3a}$$

$$m = (m_p + m_n)/2 = 938.926.35 \text{ MeV} \tag{12.2.3b}$$

Calcula-se

$$\begin{aligned}
 \frac{m^2}{(2\pi)^2} \sum_{\text{spin}} \left\{ \frac{d^3 k_1}{E_1} \frac{d^3 k_2}{E_2} |M_h|^2 \delta(q - k_1 - k_2) \right. &= \\
 \left. = (q_\mu q_\nu - g_{\mu\nu} q^2) \rho_1(q^2) + q_\mu q_\nu \rho_2(q^2) \right. &\tag{12.2.4}
 \end{aligned}$$

onde

$$\begin{aligned}
 \rho_1(q^2) &= \frac{1}{2\pi} \left(1 - \frac{4m^2}{q^2} \right) \left\{ \frac{1}{3} \left(1 + \frac{2m^2}{q^2} \right) |F_1|^2 \right. \\
 &\left. + R_e(F_1^* F_2) + \frac{1}{3} \left(2 + \frac{q^2}{4m^2} \right) |F_2|^2 + \frac{1}{3} \left(1 - \frac{4m^2}{q^2} \right) |G_1|^2 \right\} \tag{12.2.5}
 \end{aligned}$$

$$\rho_2(q^2) = \frac{1}{2\pi} \left(1 - \frac{4m^2}{q^2}\right) \left[\frac{4m^2}{q^2} |G_1|^2 + R_e |G_1 G_2^*|^2 - \frac{q^2}{4m^2} |G_2|^2 \right] \quad (12.2.6)$$

Todos os cálculos subseqüentes serão utilizados por séries de Taylor. A consequência destas séries é muito rápida para o presente estudo. Além do mais, algumas aproximações serão feitas, ver Ref. (35):

$$\rho_1(q^2) = \frac{3}{8\pi} |G_M|^2 \sqrt{1 - \frac{4m^2}{q^2}} \quad (12.2.7a)$$

$$\rho_2(q^2) = 0 \quad (12.2.7b)$$

$$G_M(q^2) = F_1(q^2) + F_2(q^2) \quad (12.2.7c)$$

$$G_E(q^2) = F_1(q^2) + \frac{q^2}{4m^2} F_2(q^2) \quad (12.2.7d)$$

$$|G_E|^2 = |G_M|^2 = 0.51 \pm 0.08 \quad (12.2.7e)$$

Um cálculo direto apresenta:

$$\begin{aligned} |M_{\text{léptons}}|^2 &= \bar{u}(q') (1 - \gamma_5) u^\mu(p) \bar{u}^\nu(p) (1 - \gamma_5) u(q') = \\ &= \frac{4}{3} \left(\frac{p_\mu p_\nu}{M^2} - g_{\mu\nu} \right) \frac{p \cdot q'}{m_\nu M} \end{aligned} \quad (12.2.8)$$

donde se encontra:

$$\Gamma(\tau^- \rightarrow \nu_\tau \bar{p}n) = \frac{G_F^2}{256\pi^5} m^2 m_{\nu_\tau} \int \frac{d^3q'}{E'} \frac{d^3k_1}{E_1} \frac{d^3k_2}{E_2} \cdot$$

$$|M_{\text{leptons}}|^2 |M|_h^2 \delta(p-q'-k_1-k_2)$$

$$= \frac{G_F^2}{48\pi^3 M} \left\{ \left[\frac{d^3q'}{E'} (2q^2 + \frac{(p \cdot q)^2}{M^2}) (p \cdot q') \right] \rho(q^2) \right\} \quad (12.2.9)$$

Definindo-se $z = m_{\nu}/M$:

$$\Gamma(\tau^- \rightarrow \nu_\tau \bar{p}n) = \frac{G_F^2}{48\pi^3 M} \int \frac{d^3q'}{E'} \left\{ 2q^2 + \frac{M^2}{4} (1-z^2 + \frac{q^2}{M^2})^2 \right\} \cdot$$

$$\cdot \frac{M^2}{2} (1+z^2 - \frac{q^2}{M^2}) \rho_1(q^2) \quad (12.2.10)$$

Para $m_{\nu_\tau} = 0$:

$$\Gamma(\tau^- \rightarrow \nu_\tau \bar{p}n) = \frac{G_F^2 M^3 |G_M|^2}{512 \pi^3} \cdot \int_{4m^2}^{M^2} dt (1 - \frac{t}{M^2})^2$$

$$(\frac{2t}{M^2} + \frac{1}{4} (1 + \frac{t}{M^2})) (1 - \frac{4m^2}{t})^{1/2} \quad (12.2.11)$$

onde $t = q^2$.

Fazendo-se a transformação:

$$t - 4m^2 = u \quad (12.2.12)$$

e

$$\lambda = (\frac{M}{2m} - 1)^{1/2} \quad (12.2.13)$$

e substituindo-se t por u na equação (12.2.12), desenvolvem-se em séries de potências:

$$\Gamma(\tau^- \rightarrow \nu_\tau \bar{p}n) = \frac{3G_F^2 |G_M|^2 M^2}{256} \int_0^{(M^2 - 4m^2)^{1/2}} \left[4\lambda^4 u^2 - \frac{4\lambda^2 u^4}{M^2} + \frac{u^6}{M^4} \right] du =$$

$$= \frac{\sqrt{2}}{140\pi^3} |G_M|^2 |G_F|^2 M^2 \lambda^7 \quad (12.2.14)$$

ou

$$\frac{\Gamma(\tau^- \rightarrow \nu_\tau + n + \bar{p})}{\Gamma(\tau^- \rightarrow \nu_\tau + \nu_\mu + \mu^-)} = |G_M|^2 \frac{240}{35} \sqrt{2} \lambda^7 \quad (12.2.15)$$

Já que $\Gamma(\tau^- \rightarrow \mu^- + \bar{\nu}_\mu + \nu_\tau) = G_F^2 M^5 / 960\pi^3$, para calcular $d\Gamma(\tau^- \rightarrow \nu_\tau \bar{p}n) / d\vec{k}_1$ será usada a expressão:

$$d^3\Gamma = \frac{G_F^2}{256\pi^5} m^2 m_{\nu_\tau} \frac{d^3\vec{k}_1}{k_1^0} \left[\frac{d^3\vec{k}_2}{k_2^0} \frac{d^3q'}{q_0'} \delta(q - k_2 - q') |M_h|^2 |M_\ell|^2 \right] \quad (12.2.16)$$

donde, por uma boa aproximação:

$$|M_h|^2 = \frac{1}{m^2} \left[k_1^\mu k_2^\nu + k_1^\nu k_2^\mu - g^{\mu\nu} k_1 k_2 - m^2 g^{\mu\nu} \right] \quad (12.2.17)$$

$$|M_\ell|^2 = \frac{4}{3} \frac{p \cdot q'}{Mm} \left(\frac{p_\mu p_\nu}{M^2} - g_{\mu\nu} \right) |G_M|^2 \quad (12.2.18)$$

e

$$\begin{aligned}
 \frac{d\Gamma}{d|\vec{k}_1|} &= \frac{G_F^2 |G_M|^2}{48\pi^4} \frac{|\vec{k}_1|}{E_1} \frac{1}{M} \times \left\{ \frac{d^3\vec{k}_2}{k_2^0} \frac{d^3q'}{q_0} \delta(Q-k_2-q') |M_\mu|^2 |M_h|^2 = \right. \\
 &= \frac{G_F^2}{24\pi^3} |G_M|^2 \frac{|\vec{k}_1^2|}{k_1^0} \frac{1}{M} \left(\frac{q^2 - m^2}{q^2} \right) \times \left\{ \frac{p \cdot M_1 (q^2 - m^2)}{2} + \right. \\
 &\left. \left. + 3m^2 p \cdot q + \frac{p \cdot q [\bar{q} \cdot M_1 M^2 + 2p \cdot k_1 p \cdot q]}{3M^2 q^2} \cdot [q^2 + 2m^2] \right\} \quad (12.2.19)
 \end{aligned}$$

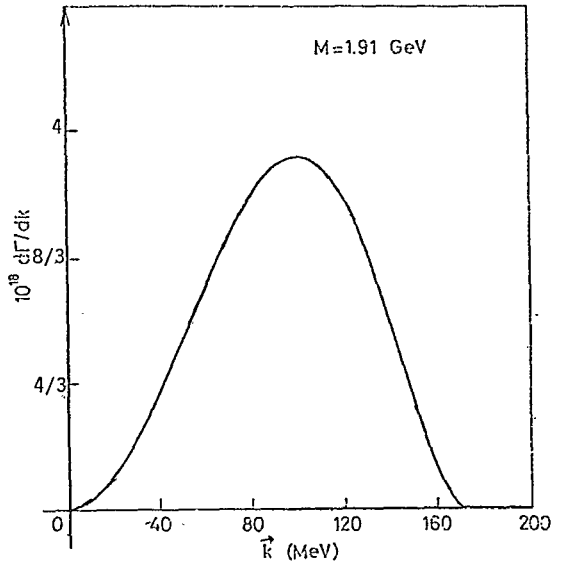
onde,

$$q = p - k_1 \quad (12.2.20)$$

Por uma boa aproximação:

$$\frac{d\Gamma}{d|\vec{k}_1|} = \frac{2G_F^2}{\pi} m^4 \left(\lambda^2 - \frac{\vec{k}_1^2}{2m} \right)^2 \frac{\vec{k}_1^2}{k_1^0} |G_M|^2 \quad (12.2.21)$$

Figura 12.2.1 - Espectro do momento do antiprôton no CM do τ com spin-3/2.



12.3 - Lépton Pseudo com Spin-1/2

Para os cálculos do decaimento bariônico, no caso de τ possuir spin-1/2, serão usados os mesmos argumentos da secção anterior.

A taxa de transição é dada pela expressão:

$$\begin{aligned} \Gamma(\tau^- \rightarrow n\bar{p}\nu_\tau) &= \\ &= \frac{G_F^2}{128\pi^5} m^2 m_\nu \left\{ \frac{d^3 q'}{q_0} |M|_{\text{léptons}}^2 \right\} \left\{ \frac{d^3 k_1}{k_1^0} \frac{d^3 k_2}{k_2^0} \delta(q-k_1-k_2) |M|_h^2 \right\} \end{aligned} \quad (12.3.22)$$

$|M_h|$ é dado pela expressão (12.2.2) e:

$$|M_h|^2 = \frac{2}{m_M} \left[p^\nu q'^\mu + p^\mu q'^\nu - g^{\mu\nu} q' \cdot p \right] \quad (12.3.23)$$

$$\begin{aligned} \left\{ \frac{d^3 \vec{k}_1}{k_1^0} \frac{d^3 \vec{k}_2}{k_2^0} \delta(q-k_1-k_2) |M_h|^2 \right\} &= \\ &= \frac{(2\pi)^2}{m^2} \left\{ (q_\mu q_\nu - g_{\mu\nu} q^2) \rho(q_1^2) + q_\mu q_\nu \rho_2(q^2) \right\} \end{aligned} \quad (12.3.24)$$

Fazendo-se

$$z = \frac{m_\nu}{M_\tau} \quad \text{e} \quad \rho_2(q^2) = 0$$

obtem-se:

$$\Gamma = \frac{3G_F^2 M^3}{256\pi^3} \int_{4m^2}^{(M-m_\nu)^2} dq^2 \left(1 - \frac{4m^2}{q^2}\right)^{1/2} \cdot \left((1-z^2 - \frac{q^2}{M^2})^2 - 4 \frac{z^2 q^2}{M^2} \right)^{1/2} \cdot \left((1-z^2) + \frac{q^2}{M^2} (1+z^2) - \frac{2q^4}{M^4} \right) \quad (12.3.25)$$

Fazendo-se $z = 0$, $t = q^2$ e $t-4m^2 = u^2$, encontra-se:

$$\begin{aligned} \Gamma &= \frac{3G_F^2 M^3}{256\pi^3} |G_M|^2 \int_{4m^2}^{M^2} dt \left\{ 1 - \frac{3t^2}{M^4} + \frac{2t^3}{M^6} \right\} \left(1 - \frac{4m^2}{t}\right)^{1/2} = \\ &= \frac{3G_F^2 M^3}{256\pi^3} |G_M|^2 \int_0^{(M^2-2m^2)^{1/2}} du \left(1 - \frac{3}{M^4} (u^2 + 4m^2)^2 + \right. \\ &\quad \left. + \frac{2(u^2 + 4m^2)^3}{M^6} \right) \left(u^2 - \frac{u^4}{8m^2} + \frac{u^6}{120m^6}\right) = \\ &= \frac{3G_F^2 M^2}{128} |G_M|^2 \int_0^{(M^2-4m^2)^{1/2}} \left(\frac{12\lambda^4 u^2}{(1+\lambda^2)^6} - \frac{24\lambda^2}{8(1+\lambda^2)^6} \frac{1}{m^2} u^4 + \right. \\ &\quad \left. + \frac{3u^6}{M^4(1+\lambda^2)^2} \right) \end{aligned} \quad (12.3.26)$$

Onde λ e u estão definidos nas equações (12.2.12) e (12.2.13).

Aproximando-se $M = 2m$:

$$\Gamma(\tau^- \rightarrow \bar{n} p \nu_{\tau}) = \frac{G_F^2 |G_M|^2 3\sqrt{2} M^5}{70 \pi^3} \lambda^7 \quad (12.3.27)$$

e

$$\frac{\Gamma(\tau^- \rightarrow \bar{n} \rho \nu_{\tau})}{\Gamma(\tau^- \rightarrow \bar{\nu}_{\mu} \mu^- \nu_{\tau})} = \frac{|G_M|^2 \sqrt{2} 288}{35} \lambda^7 \quad (12.3.28)$$

onde

$$\Gamma(\tau^- \rightarrow \nu_{\tau} \bar{\nu}_{\mu} \mu^-) = \frac{G_F^2 M^5}{192 \pi^3}$$

Para se calcular $d\Gamma/dk_1$ utilizaremos:

$$\frac{d\Gamma}{dk_1} = d^3\Gamma = \frac{1}{64\pi^5} m^2 m_{\nu}^2 \frac{d^3\vec{k}_1}{k_1^0} \left\{ \frac{d^3k_2}{k_2^0} \frac{d^3q'}{q_1^0} \delta(q-q'-k_2) |M|^2 \right. \quad (12.3.29)$$

onde

$$|M|^2 = \frac{G_F^2}{2} |M|_h |M|_1^2$$

onde M_h e M_l estão dados pelas Eqs. (12.2.12) e (12.3.23), respectivamente.

Disto:

$$\frac{d\Gamma}{dk_1} = \frac{G_F^2 |G_M|^2 k_1^2}{8\pi^4 M k_1^0} \left\{ \frac{d^3\vec{k}_2}{k_2^0} \frac{d^3q'}{q_1^0} \delta(q-q'-k_2) \left[h_1 \cdot q' k_2 \cdot p + k_1 \cdot p k_2 \cdot q' + m^2 q' \cdot p \right] \right\} =$$

$$\begin{aligned}
 &= \frac{|G_F^2|^2 |G_M|^2 \vec{k}_1^2}{8\pi^3 M k_1^0} \left[\frac{q^2 - m^2}{q^2} \right] \left[(k_1 \cdot p) q^2 + (p \cdot q) m^2 + \frac{q \cdot k_1 q \cdot p}{3q^2} (q^2 + m^2) \right] \approx \\
 &\approx \frac{6G_F^2}{\pi^3} |G_M|^2 m^2 \vec{k}_1^2 \left(\lambda^2 - \frac{\vec{k}_1^2}{2m^2} \right)^2 \quad (12.3.30)
 \end{aligned}$$

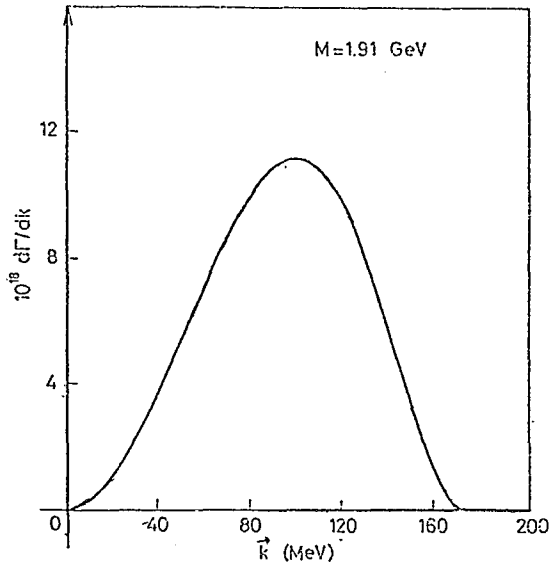


Figura 12.3.1 - Espectro do momento do antiprton no centro de massa do τ^- com spin-1/2.

CAPÍTULO XIII

CONCLUSÃO

13.1 - *O Spin- τ do Lépton Pesado*

A medição direta do spin do lépton- τ até agora não foi obtida por questões de dificuldades experimentais. Indiretamente, através dos decaimentos do táon é possível estabelecer qual o spin do novo lépton ⁽³²⁾.

Que o táon se trata de um fêrmion ⁽²⁸⁾, não deixa dúvida ! Ambas as atribuições spin-1/2 e spin-3/2 estão de acordo com os dados experimentais até agora conhecidos ⁽³²⁾. Resta, através de comparação com dados experimentais, determinar-se qual o verdadeiro spin do τ .

13.2 - *Previsões Teóricas dos Decaimentos do Táon*

Algumas previsões teóricas se acham nas tabelas que se seguem. Estes dados foram obtidos dos cálculos encontrados nos Capítulos anteriores e na Referência ⁽³⁴⁾.

Tabela 13.2.1 - Previsões para vários decaimentos do lépton- τ com spin 3/2.

| DECAIMENTO | TAXA DE DECAIMENTO | RAZÃO DE RAMIFICAÇÃO |
|---|-------------------------|----------------------|
| $\tau^- \rightarrow \text{all}$ | 3.470×10^{-10} | 1 |
| $\tau^- \rightarrow \rho v_\tau$ | 1.240×10^{-10} | 0.270 |
| $\tau^- \rightarrow \rho' v_\tau$ | 4.493×10^{-11} | 0.082 |
| $\tau^- \rightarrow \rho'' v_\tau$ | 1.085×10^{-11} | 0.020 |
| $\tau^- \rightarrow A_1' v_\tau$ | 6.485×10^{-11} | 0.120 |
| $\tau^- \rightarrow A_2^- v_\tau$ | 1.270×10^{-10} | 0.230 |
| $\tau^- \rightarrow v_\tau + 2\pi$ | 1.240×10^{-10} | 0.230 |
| $\tau^- \rightarrow v_\tau + 3\pi$ | 1.614×10^{-10} | 0.300 |
| $\tau^- \rightarrow v_\tau + 4\pi$ | 5.588×10^{-11} | 0.100 |
| $\tau^- \rightarrow v_\tau e^- \bar{\nu}_e$ | 1.066×10^{-10} | 0.170 |
| $\tau^- \rightarrow v_\tau \mu^- \bar{\nu}_\mu$ | 1.065×10^{-10} | 0.170 |

Tabela 13.2.2 - Previsões para vários decaimentos do lépton- τ com spin 1/2.

| DECAIMENTO | TAXA DE DECAIMENTO | RAZÃO DE RAMIFICAÇÃO |
|---|-------------------------|----------------------|
| $\tau^- \rightarrow \text{all}$ | 2.735×10^{-9} | 1 |
| $\tau^- \rightarrow v_\tau \rho$ | 7.408×10^{-10} | 0.270 |
| $\tau^- \rightarrow v_\tau \rho'$ | 1.816×10^{-10} | 0.066 |
| $\tau^- \rightarrow v_\tau \rho''$ | 3.650×10^{-11} | 0.010 |
| $\tau^- \rightarrow v_\tau A_1$ | 2.899×10^{-10} | 0.110 |
| $\tau^- \rightarrow v_\tau A_2^0 \pi^-$ | 6.455×10^{-11} | 0.240 |
| $\tau^- \rightarrow v_\tau A_2^- \pi^0$ | 6.455×10^{-11} | 0.240 |
| $\tau^- \rightarrow v_\tau + \pi^-$ | 3.200×10^{-10} | 0.100 |
| $\tau^- \rightarrow v_\tau + \pi^- + \pi^0$ | 7.408×10^{-10} | 0.270 |
| $\tau^- \rightarrow v_\tau + 3\pi$ | 2.899×10^{-10} | 0.110 |
| $\tau^- \rightarrow v_\tau + 4\pi$ | 3.163×10^{-10} | 0.130 |
| $\tau^- \rightarrow e^- + \bar{\nu}_e + v_\tau$ | 5.331×10^{-10} | 0.190 |
| $\tau^- \rightarrow \mu^- + \bar{\nu}_\mu + v_\tau$ | 5.202×10^{-10} | 0.190 |

Das taxas de decaimento Γ e $\tau \rightarrow \text{all}$, podemos prever as vidas m\u00e9dias do l\u00e9pton- τ para o caso spin-1/2 e spin-3/2, respectivamente:

$$\tau_{1/2} = 2.4 \times 10^{-13} \text{ seg}$$

$$\tau_{3/2} = 1.2 \times 10^{-13} \text{ seg}$$

13.3 - Dados Experimentais do L\u00e9pton- τ

Alguns resultados experimentais se acham na Tabela 13.3.1 (36).

Tabela 13.3.1 - Dados experimentais para decaimentos do τ .

| DECAIMENTO | BRANCHING RATIO |
|--|-----------------|
| $\tau^- \rightarrow \rho^- + \nu_\tau$ (36) | 0.24 ± 0.09 |
| $\tau^- \rightarrow A_1^- + \nu_\tau$ (36) | 0.11 ± 0.04 |
| $\tau^- \rightarrow e^- \bar{\nu}_e \nu_\tau$ (36) | 0.19 ± 0.01 |
| $\tau^- \rightarrow \mu^- \bar{\nu}_\mu \nu_\tau$ (36) | 0.17 ± 0.03 |
| $\tau^- \rightarrow \nu_\tau \pi^-$ (38) | 0.09 ± 0.03 |

13.4 - Discuss\u00e3o

Tanto a atribui\u00e7\u00e3o 1/2 quanto a atribui\u00e7\u00e3o 3/2, est\u00e3o

de acordo com os dados experimentais. A comparação das Secções 13.2 e 13.3 demonstra isto.

O decaimento

$$\tau^- + \nu_\tau + \pi^- \quad (13.4.1)$$

até recentemente não era observado⁽³²⁾. Isto dava a impressão de que τ se tratava de um lépton de spin-3/2, já que a reação (13.4.1) é suprimida pela conservação de momento angular para τ com spin-3/2⁽³²⁾. Caso τ tivesse spin-1/2 a reação $\tau^- + \nu_\tau \pi^-$ era favorecida e com a mesma ordem de grandeza que a reação observada $\tau^- + \nu_\tau A_1^-$. Recentemente a reação (13.4.1) foi observada⁽³⁸⁾, o que cria mais um argumento que favorece a hipótese de que τ se trata de um lépton sequencial com spin-1/2.

Outro modo de indicação do spin do lépton- τ é na observação do decaimento do τ na ressonância A_2^- . Isto porque:

(a) - se τ tem spin-1/2, o decaimento se processa acompanhado de um pión

$$\tau^- + A_2^- + \pi^0 + \nu_\tau \quad (13.4.2)$$

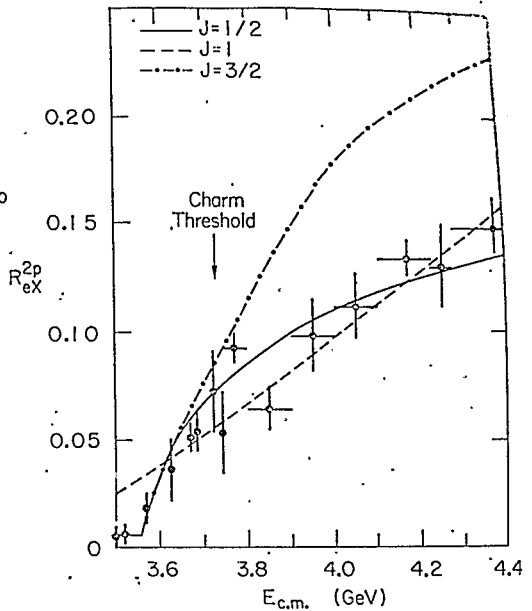
(b) - caso τ tenha spin-3/2, é permitido o decaimento em dois corpos, sem a presença de pions:

$$\tau^- + A_2^- + \nu_\tau \quad (13.4.3)$$

Experimentalmente, é possível determinar-se a presença da ressonância A_2^- pelo decaimento desta em pares de $\bar{k}k$ (5,8% do decaimento total $A_2^- \rightarrow \text{all}$).

A melhor evidência de que τ^- possui spin-1/2 está na medição da quantidade $R_{eX}^{2p} = \sigma(e^+e^- \rightarrow eX) / \sigma(e^+e^- \rightarrow \mu^+\mu^-)$ em função da inércia do C.M. do par e^+e^- (27,41). Vide Fig. 13.4.1.

Figura 13.4.1 - R_{eX}^{2p} em função da $E_{C.M.}$ do par e^+e^- .



A atribuição spin-1/2 é a única de acordo com os valores experimentais. A hipótese que τ^- é um hádron charmoso está des-

cartada; a energia de limiar para um hádron charmoso está acima da energia de limiar dos dados experimentais. Resta então, a hipótese de que τ^- é um lépton de spin-1/2.

Outras atribuições de spin que não 3/2 estão excluídas pois levam a divergência no limite de altas energias.

APÊNDICE A

PROPAGADORES DE FEYNMAN PARA CAMPOS

A.1) - *Campo Vetorial Massivo*

O campo vetorial massivo A_μ possui o seguinte propagador (39) :

$$T_{\mu\nu}(k) = \left(g_{\mu\nu} - \frac{k_\mu k_\nu}{k^2} \right) \frac{-1}{m^2 - k^2 - i\epsilon}$$

onde:

- m é a massa do campo vetorial,
- k_μ é o quadrimomento do campo vetorial,
- ϵ uma constante pequena e maior que zero.

A.2) - *Campo de Maxwell*

O campo vetorial sem massa, ou campo de Maxwell, cujo quadrimomento é k_μ , possui o seguinte propagador (39) :

$$T_{\mu\nu}(k) = \frac{g_{\mu\nu}}{k^2 + i\epsilon}$$

A.3) - *Campo de Spin-3/2*

O campo de Rarita-Schuringer cujo quadrimomento é p_μ e a massa vale m , tem o seguinte propagador ⁽³⁹⁾

$$\Lambda_{\mu\nu}(k) = -\frac{\gamma_\mu p^{\mu+m}}{2m} \left(g_{\mu\nu} - \frac{1}{3} \gamma_\mu \gamma_\nu - \frac{2p_\mu p_\nu}{3m^2} + \frac{p_\mu \gamma_\nu - p_\nu \gamma_\mu}{3m} \right)$$

A.4) - *Campo com Spin-2*

O campo com spin-2 tem o seguinte propagador ⁽⁴⁰⁾:

$$T_{\mu\nu;\alpha\beta}(k) = \frac{1}{2} \frac{1}{p^2 - m^2} \left\{ \left(g_{\mu\alpha} g_{\beta\nu} - \frac{1}{3} g_{\mu\nu} g_{\alpha\beta} \right) - \left(\frac{p_\mu p_\alpha g_{\beta\nu} + g_{\mu\nu} g_{\beta\alpha}}{2m^2} \right) + \right. \\ \left. + \frac{p_\mu p_\nu g_{\alpha\beta} + g_{\mu\nu} p_\alpha p_\beta}{3m^2} + \frac{2}{3} \frac{p_\mu p_\nu p^\alpha p^\beta}{m^4} + (\mu + \nu) \right\}$$

onde p_μ é o quadrimomento do campo com spin-2 e massa m .

BIBLIOGRAFIA

- (1) - J. Leite Lopes - Les Interactions Faibles - Cours à l'École d'Eté de Physique des Particules Élémentaires de Grif-sur-Yvettes - 1^a edição. University of Strasbourg Press (1976).
- (2) - E. Abers and B.W. Lee - Gauge Theories - *Physics Reports* 9C, nº 1 (1974) 1.
- (3) - C.N. Yang and R. Mills - Conservation of Isotopic Spin and Isotopic Gauge Invariance - *Phys. Rev.* 96 (1954) 191.
- (4) - R. Utiyama - Invariant Theoretical Interpretation of Interaction - *Phys. Rev.* 101 (1956) 1597.
- (5) - J. Goldstone - Field Theories with Superconductor Solutions - *Nuovo Cimento* 19 (1954) 154.
- (6) - J. Goldstone, A. Salam and Steven Weinberg - Broken Symmetries - *Phys. Rev.* 127 (1962) 965.
- (7) - J. Bernstein - Spontaneous Symmetry Breaking, Gauge Theories, the Higgs Mechanism and all that - *Rev. Mod. Phys.* 46, nº 1 (1974) 7.
- (8) - M. Gell-Mann and M. Lévy - The Axial Vector Current in Beta Decay - *Nuovo Cimento* 16, nº 4 (1960) 705.
- (9) - B.W. Lee - Chiral Dynamics - 1st Ed. - Gordon and Breach (1962).
- (10) - P.W. Higgs - Broken Symmetries, Massless Particles and Gauge Fields - *Phys. Letters* 12 (1964) 132.

- (11) - P.W. Higgs - Spontaneous Symmetry Breakdown with Massless Bosons - *Phys. Rev.* 145, n^o 4 (1965) 1156.
- (12) - E. Fermi - Versuch einer Theorie der β -Strahlen - *Z. Physik* 88 (1934) 161.
- (13) - E.G.C. Sudarshan and R.E. Marshak - Weak Interactions - in Padua Proceedings Conference on Mesons and Recently Discovered Particles (1967).
- (14) - R.P. Feynman and M. Gell-Mann - Theory of Weak Interactions - *Phys. Rev.* 109, n^o 1 (1958) 193.
- (15) - N. Cabibbo - Unitary Symmetry and Leptonic Decays - *Phys. Rev. Letters* 10, n^o 12 (1963) 531.
- (16) - T.D. Lee and C.N. Yang - Questions of Parity Conservation in Weak Interactions - *Phys. Rev.* 104, n^o 1 (1956) 254.
- (17) - E.M. Commins - Weak Interaction 1st Ed. - McGraw-Hill , (1973).
- (18) - A. Salam and Ward - Electromagnetic and Weak Interactions - *Phys. Letters* 13, n^o 2 (1964) 168.
- (19) - S. Weinberg - A Model of Leptons - *Phys. Rev. Letters* 19, n^o 21 (1967) 1265.
- (20) - A. Salam - Weak and Electromagnetic Interactions in Elementary Particle Theory, ed. by N. Svartholm - 1st Ed. Almqvist and Forlag - Stokholm (1968), 367.
- (21) - S. Glashow, J. Iliopoulos and L. Maiani - Weak Interactions with Lepton Hadron Symmetry - *Phys. Rev.* D2, n^o 2 (1970).

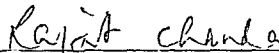
- (22) - F. Fujikawa and N. Kawamoto - Heavy Lepton, Weak Angles and Sextet - *Prog. Theor. Phys.* 55, n^o 6 (1976) 1960.
- (23) - H. Harari - Quarks and Leptons - *Physics Reports* 42-c, n^o 4 (1978) 237.
- (24) - M. Perl e Colaboradores - Properties of Anomalous e^+e^- Events Produced in e^+e^- Annihilation - *Phys. Letters* 63B, n^o 4 (1967) 466.
- (25) - G. Flügge - Review of Heavy Lepton in e^+e^- Annihilation-Preprint DESY 77/35, June (1977).
- (26) - F.B. Heile, M. Perl e Colaboradores - Anomalous e^+e^- and $\mu^+\mu^-$ Events Produced in e^+e^- Annihilation - Preprint SLAC-PUB-2059, LBL-7243, Dec. (1977).
- (27) - W. Bacino e Colaboradores - Measurement of the Threshold Behaviour of $\tau^+\tau^-$ Production in e^+e^- Annihilation - *Phys. Rev. Lett.* - 41, 13 (1978).
- (28) - G.F. Feldman - Properties of the τ -Lepton - Preprint SLAC-PUB-2138, June (1978).
- (29) - H. Pietschmann - The Fifth Lepton - Proceedings from the Triangle Meeting on Hadron Structure - Strbske Pleso, (1977) 1.
- (30) - Y.S. Tsai - Leptonic Decay of Heavy Lepton - Preprint SLAC-PUB 2242, Dec. (1978).
- (31) - J. Kirby - τ -Studies From Delco - SLAC-PUB 2127, June (1978).
- (32) - P.P. Srivastava and A.V. Vasconcelos - On A_2^- Decay Mode and Spin of the Heavy Lepton - *Lett. al N. Cimento* 23, n^o 8 (1978) 299.
- (33) - J.D. Bjorken and S.D. Drell - Relativistic Quantum Mecha

- nics - 1st Ed., McGraw-Hill (1964).
- (34) - Y.S. Tsai - Decay Correlations of Heavy Leptons in $e^+e^- \rightarrow \ell^+\ell^-$ - *Phys. Rev.* 4D, n^o 3 (1971) 2821.
- (35) - K.J.F. Gaemers and C.J. Komen - Preprint CERN TH.2344 , July '77.
- (36) - Ya Azimov, L. Frankfurt and V. Khoze - New Particle in e^+e^- Annihilation: The Heavy Lepton τ^\pm - *Sov. Phys.Usp.*, 21, n^o 3 (1978) 225.
- (37) - W. Bacino e Colaboradores - Nature of the τ - ν_τ -W Coupling - *Phys. Rev. Letters* 42, n^o 12 (1979) 749.
- (38) - G. Alexander e Colaboradores - Observation of $\tau \rightarrow \tau\nu_\tau$ - Preprint DESY 78/30, July '78.
- (39) - D. Lurié - Particles and Fields - 1st Edition, John Wiley & Sons (1968).
- (40) - G. Feldman - Classical Electromagnetic and Gravitational Field Theories as Limits of Massive Quantum Theories - in The Uncertainty Principle and Foundations of Quantum Mechanics - Ed. by W.C. Price - 1st Edition - John Wiley & Sons (1977) 365.
- (41) - Jarper Kirkby - Charm and Tau Measurements from DELCO - Proceedings of Summer Institute on Particle Physics - SLAC Report n^o 215 (1978).

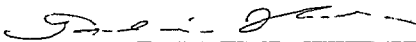
Tese apresentada ao Centro Brasileiro de Pesquisas Físicas do Conselho Nacional de Desenvolvimento Científico e Tecnológico, fazendo parte da Banca Examinadora os seguintes professores:



Prem Prakash Srivastava - Presidente



Rajat Chanda



Takeshi Kodama

Rio de Janeiro, 25 de julho de 1979